

FIG. 1

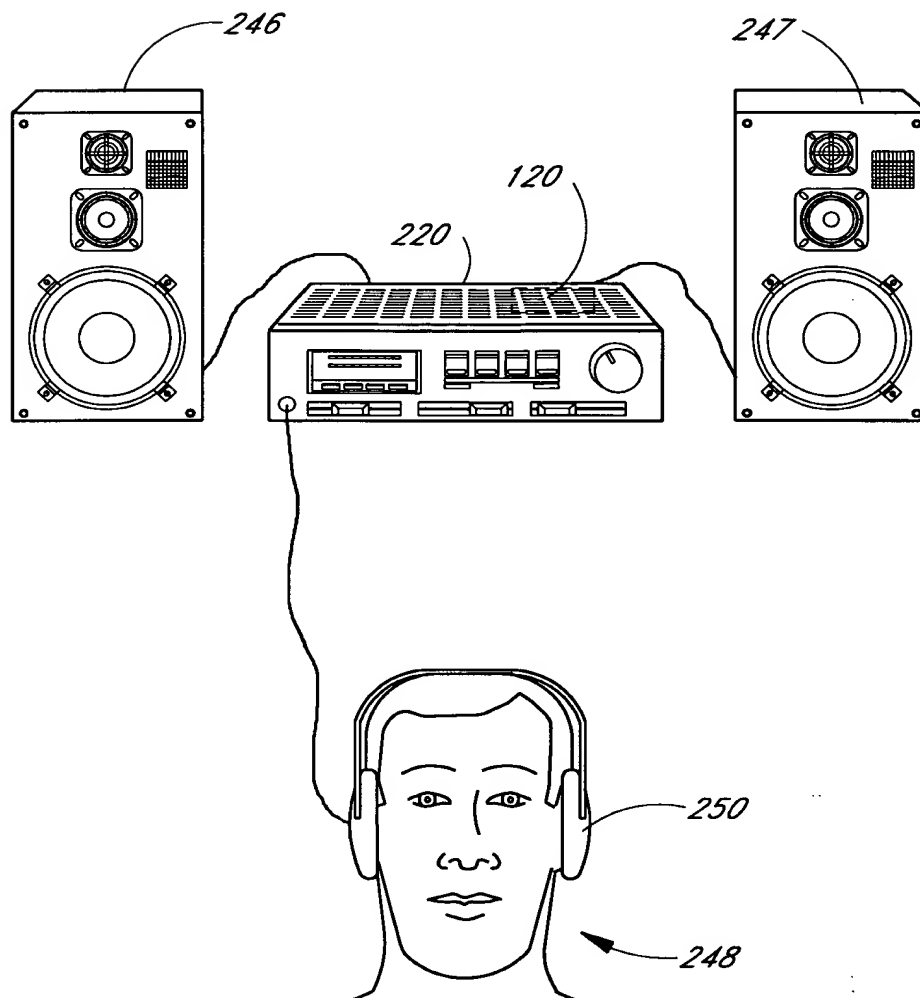


FIG. 2

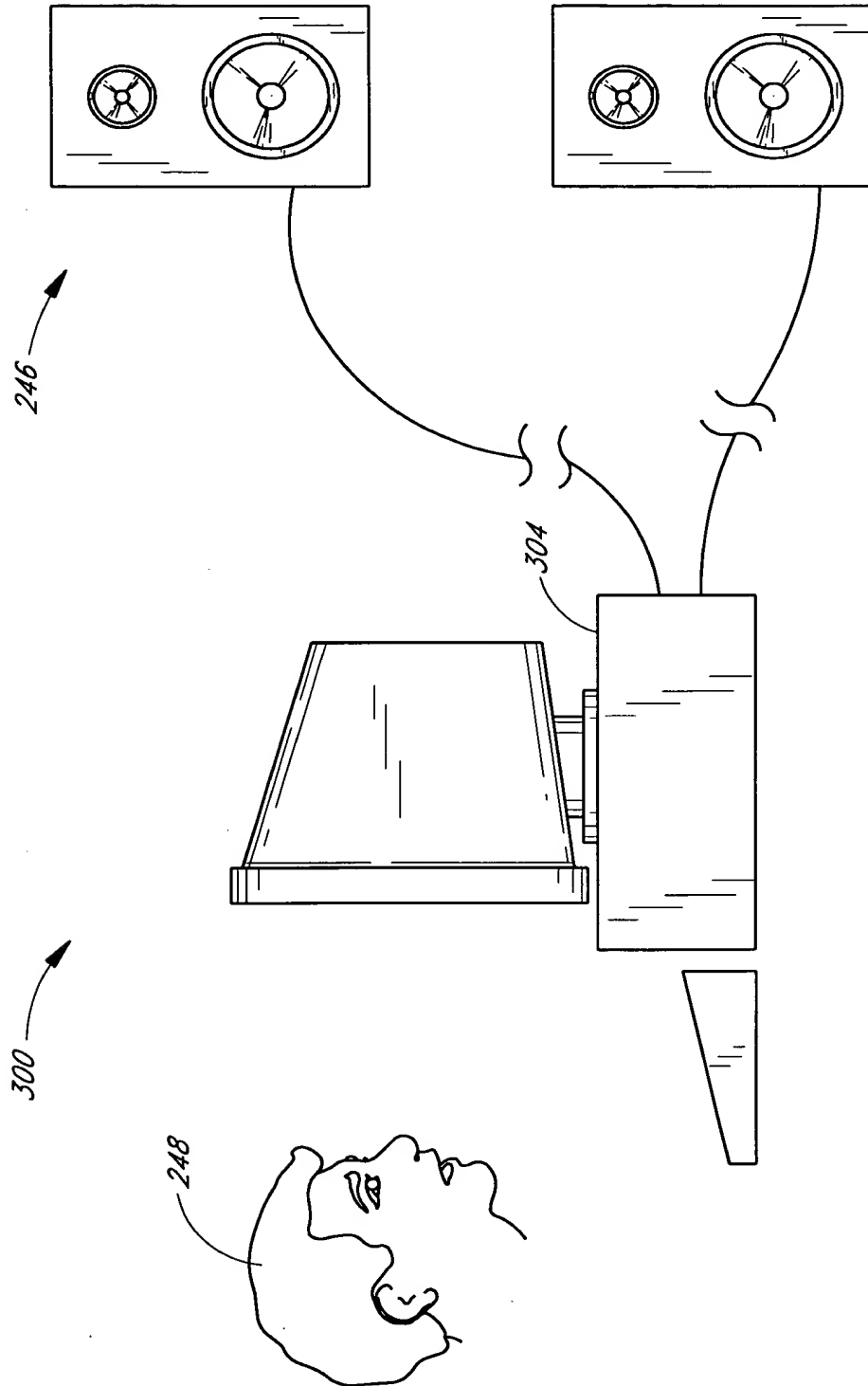


FIG. 3

4/53

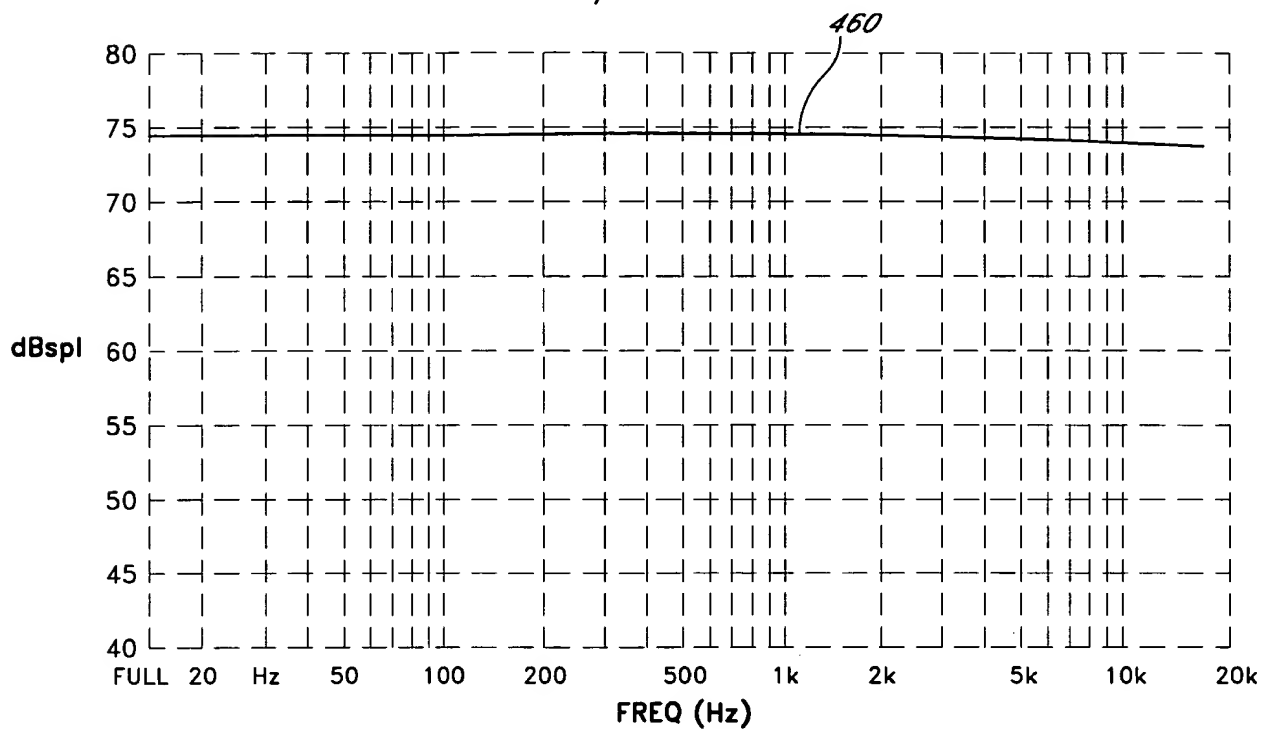


FIG. 4A

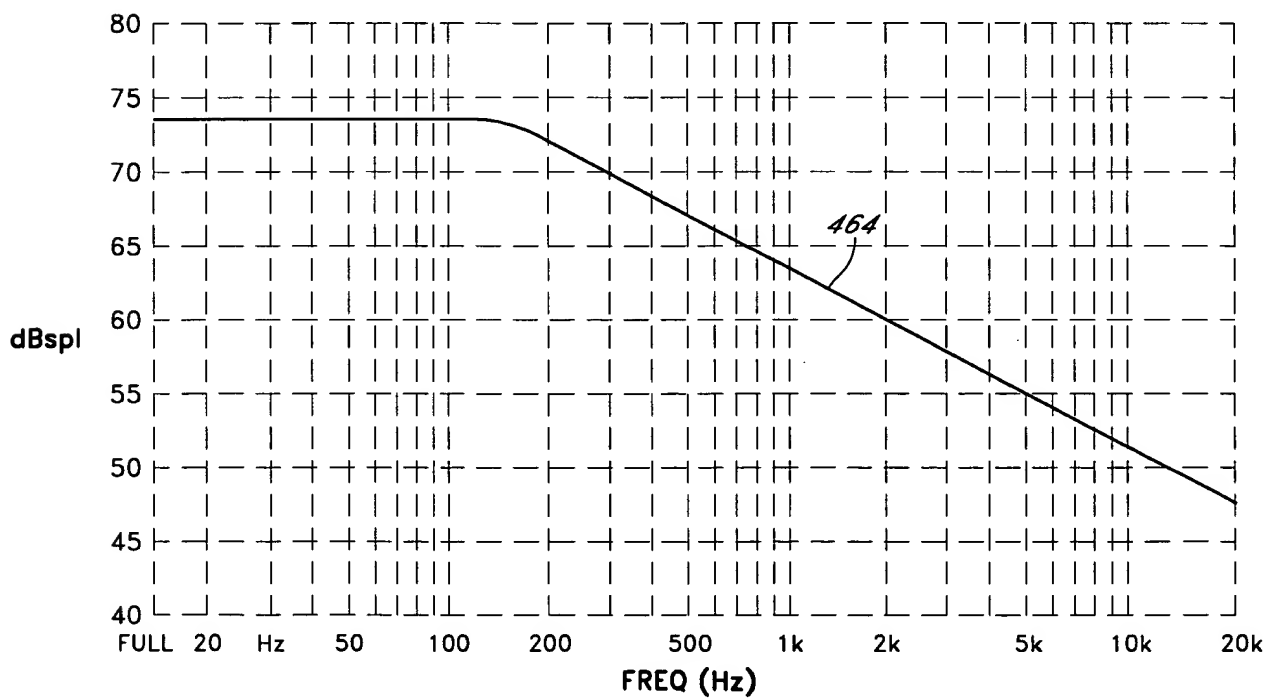


FIG. 4B

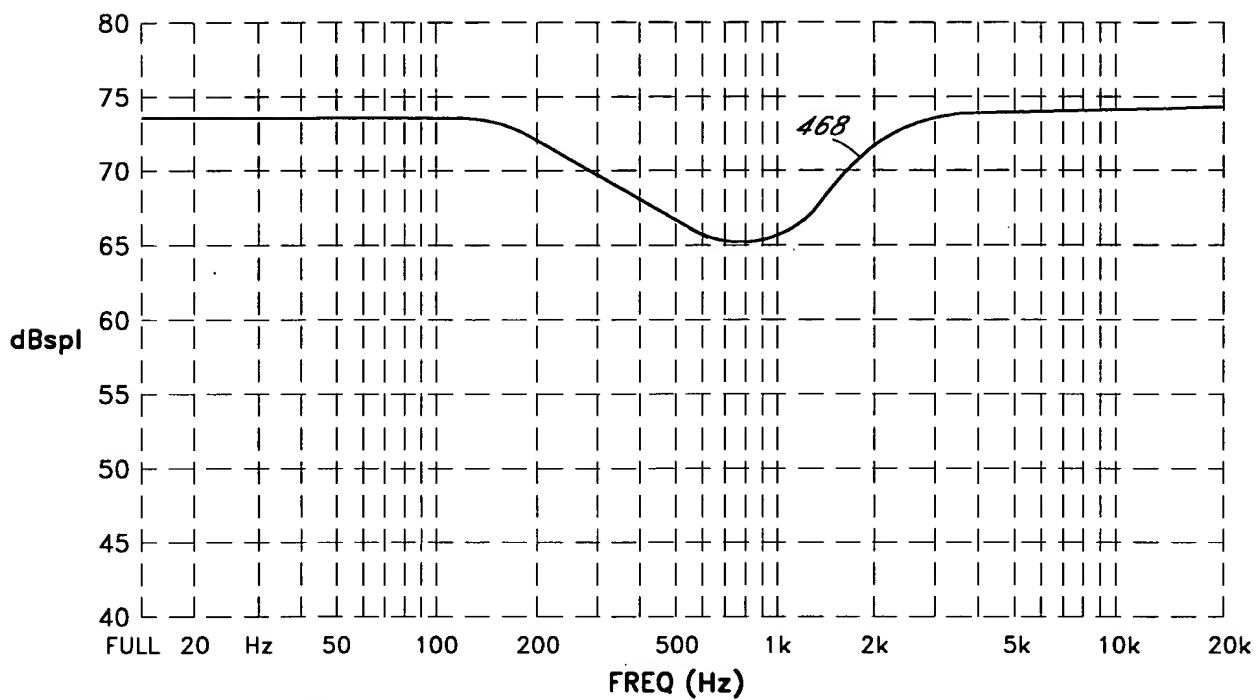


FIG. 4C

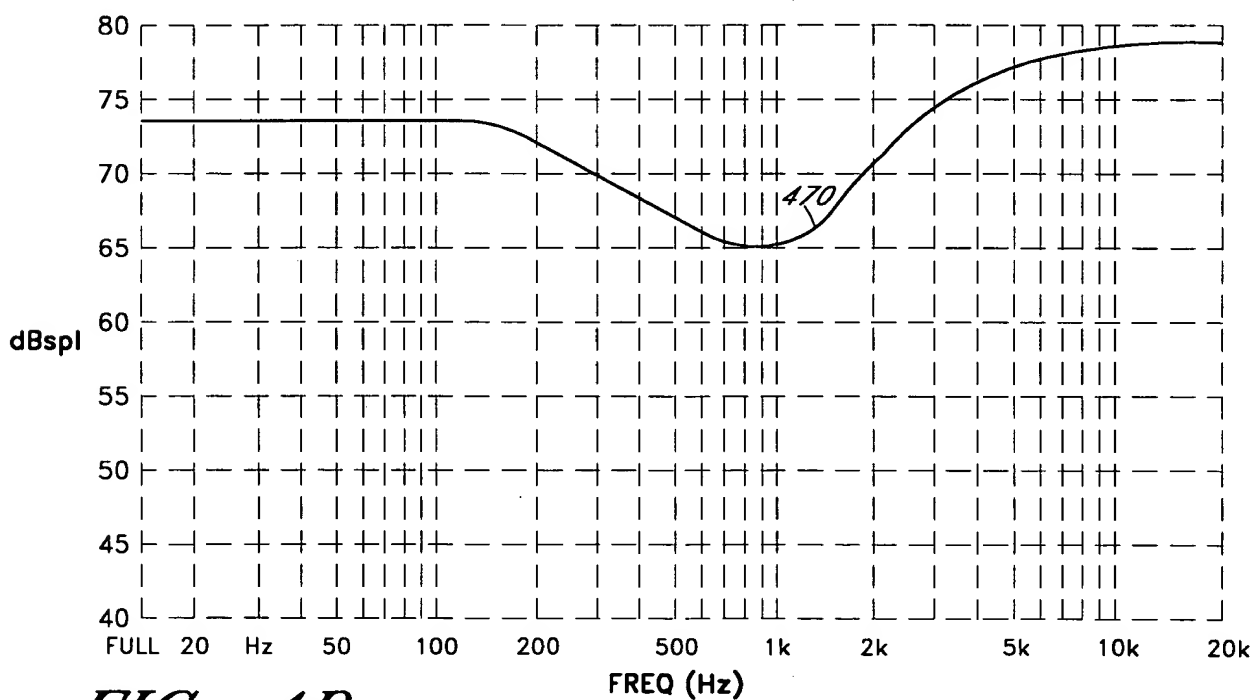


FIG. 4D

6/53

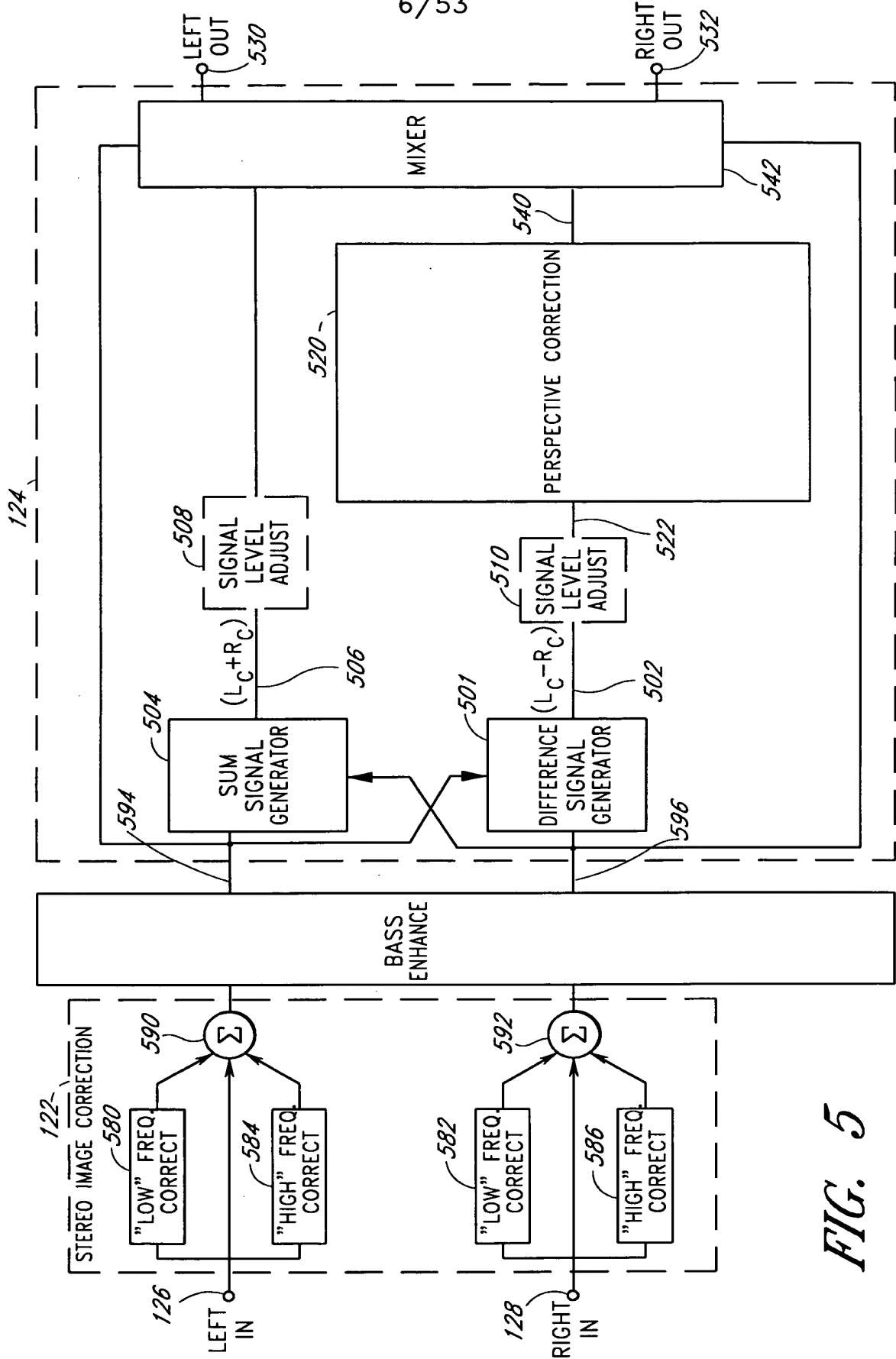


FIG. 5

7/53

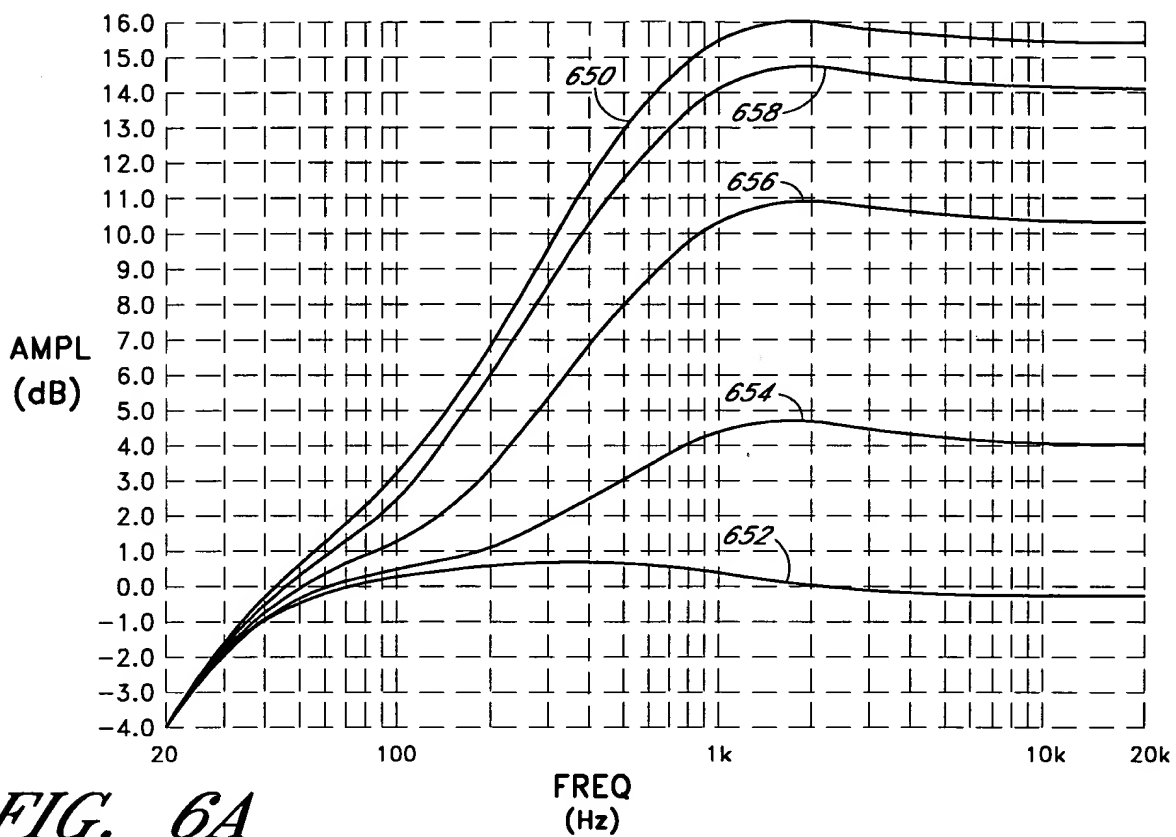


FIG. 6A

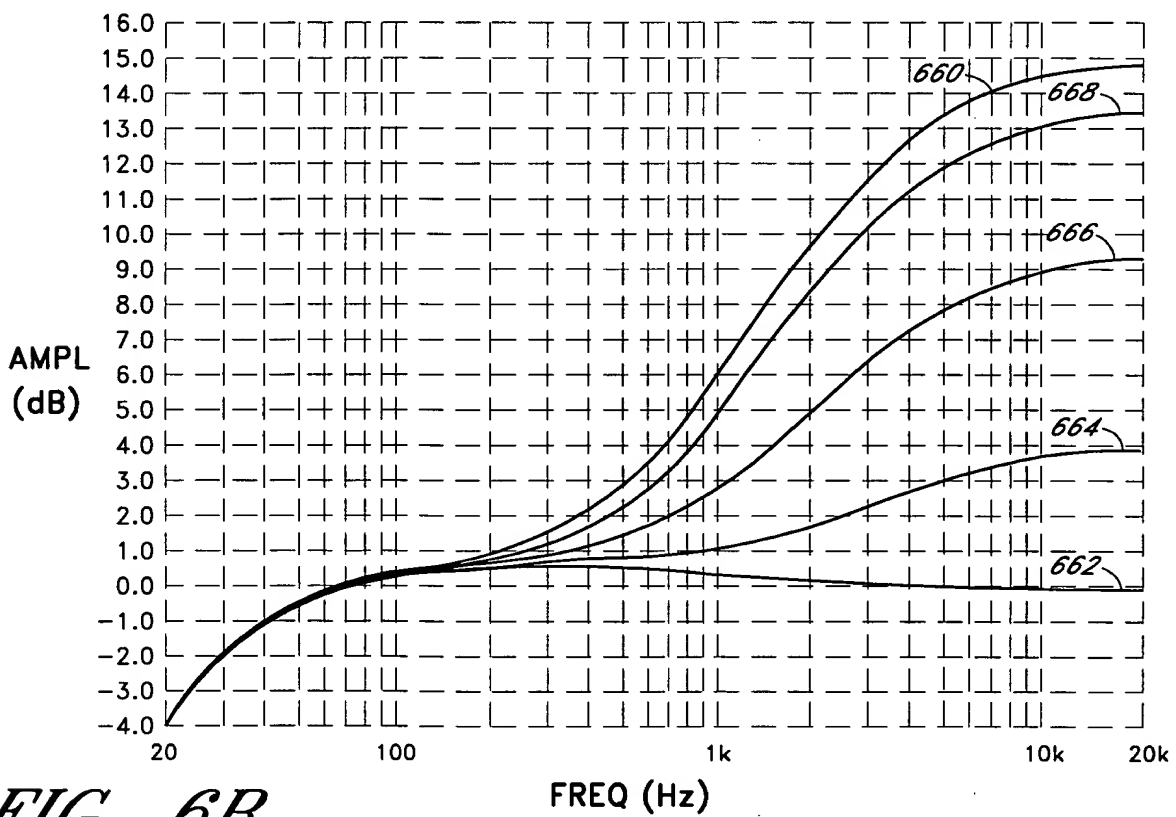


FIG. 6B

8/53

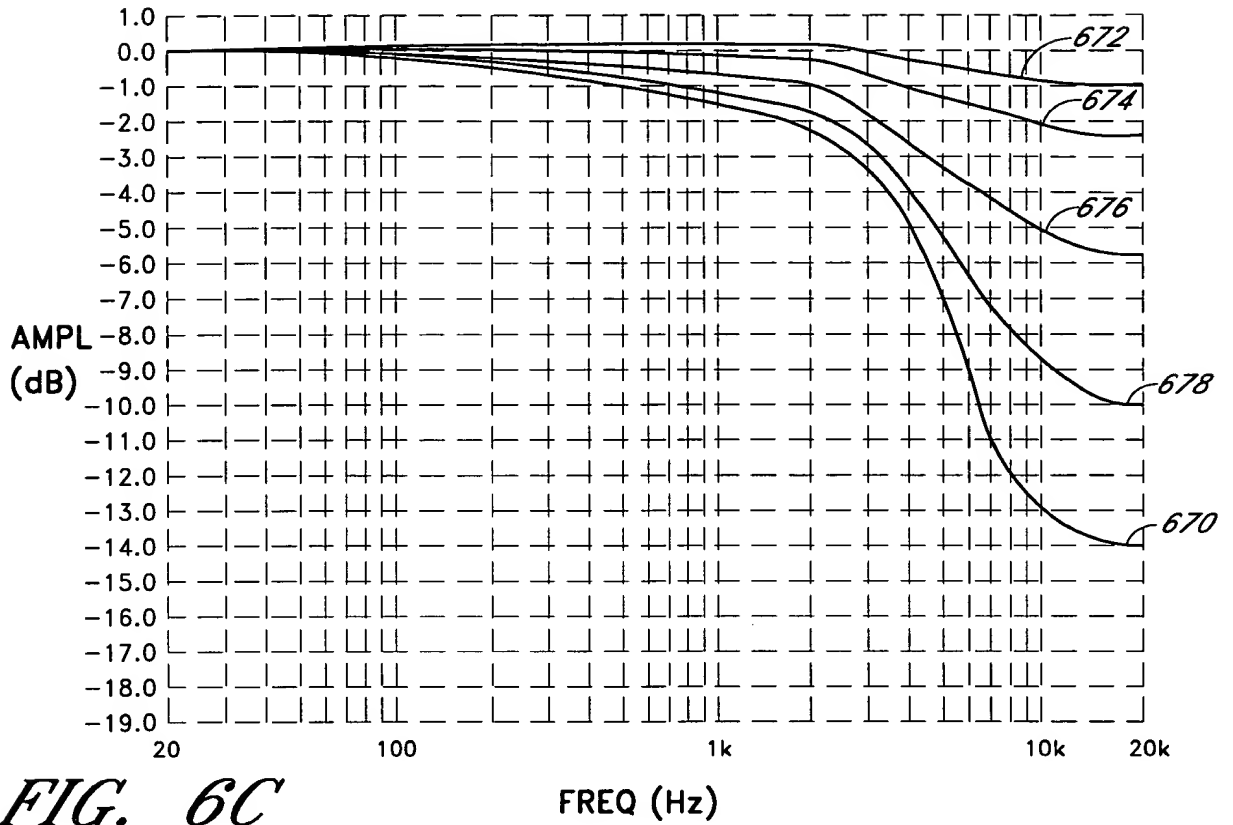


FIG. 6C

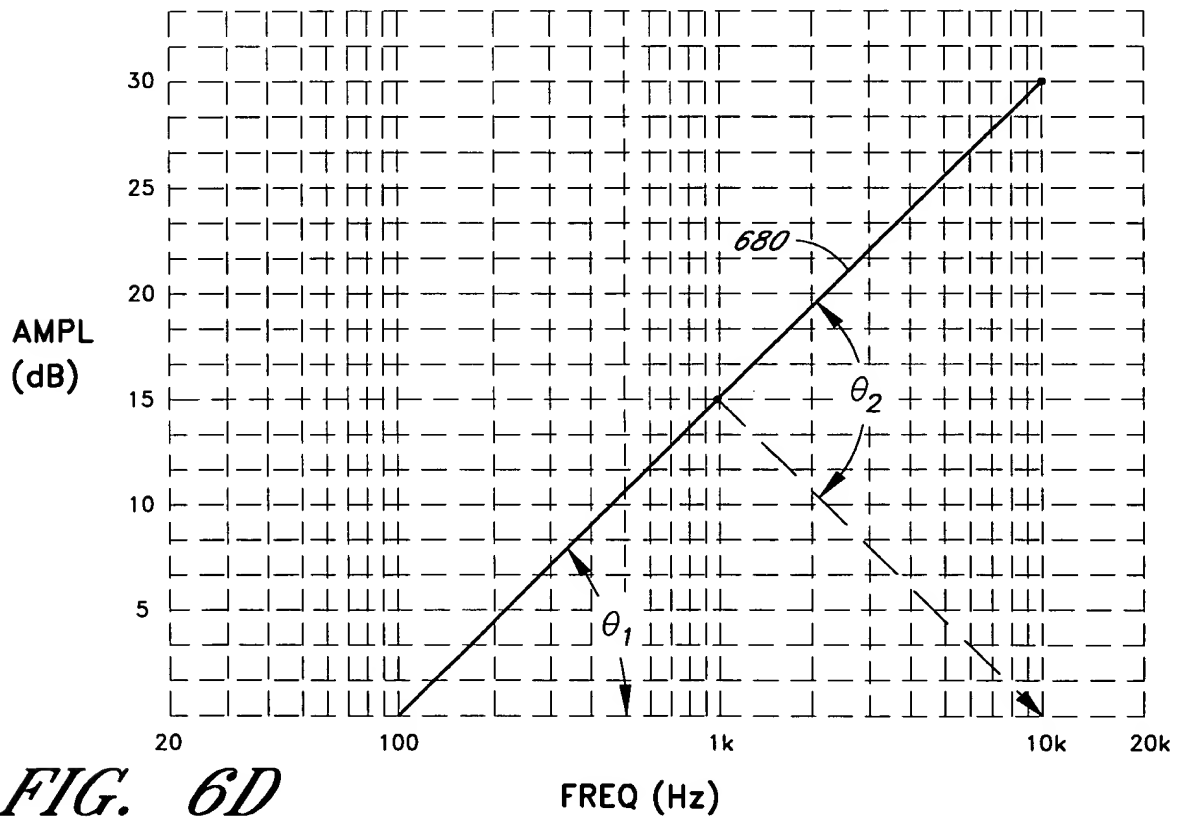
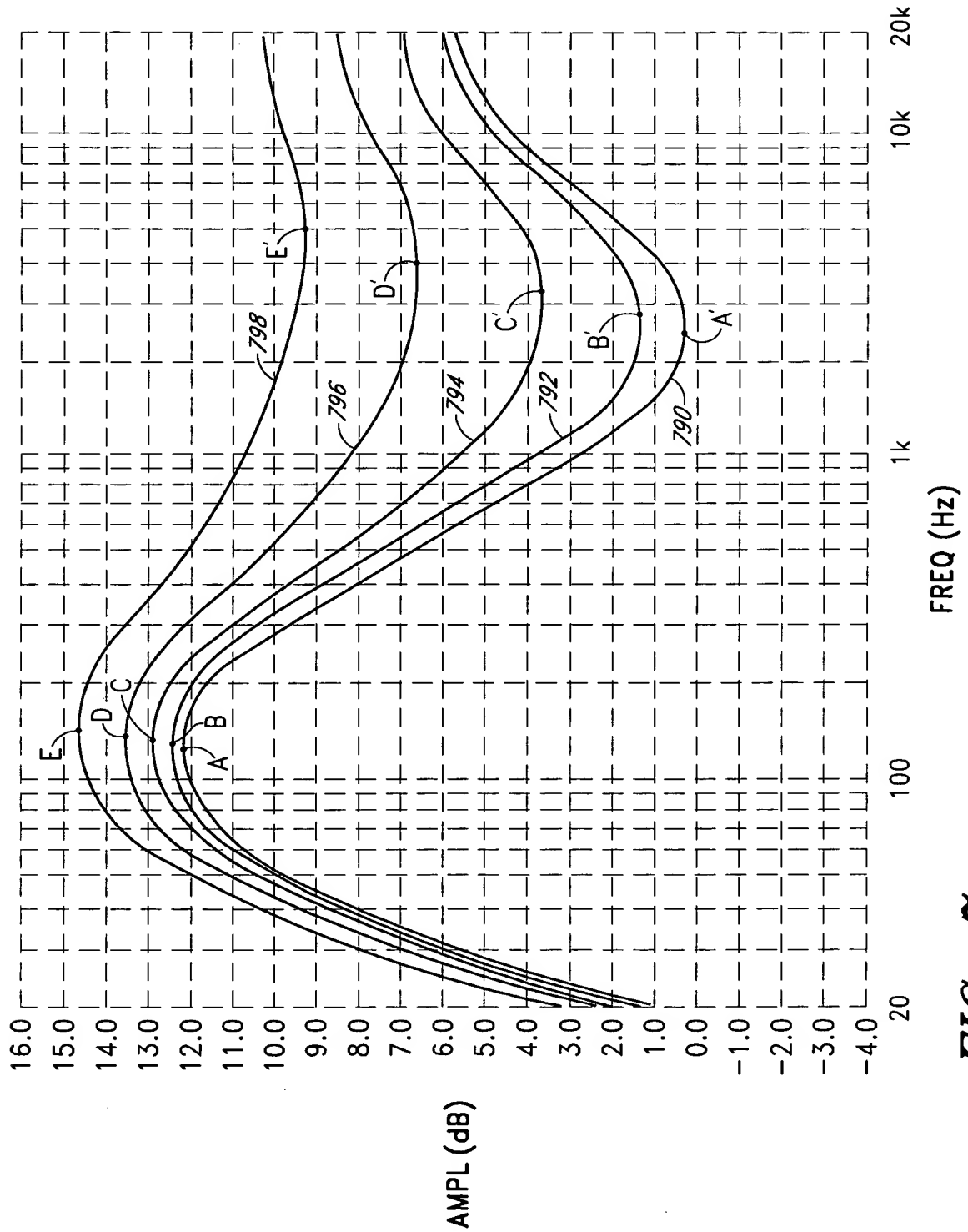


FIG. 6D



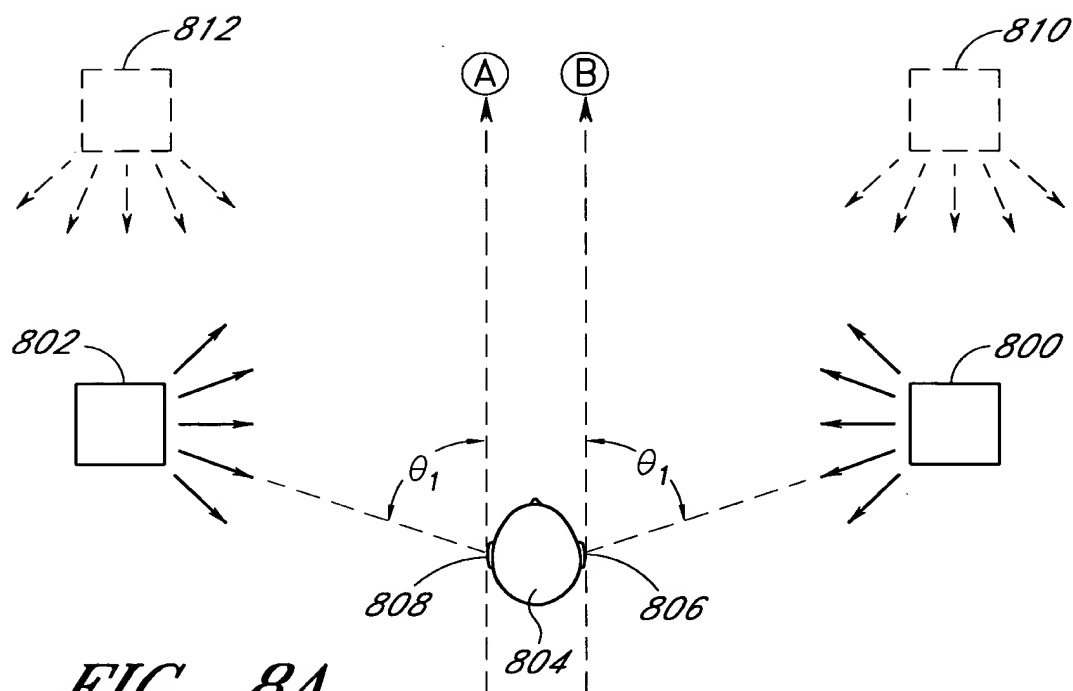


FIG. 8A

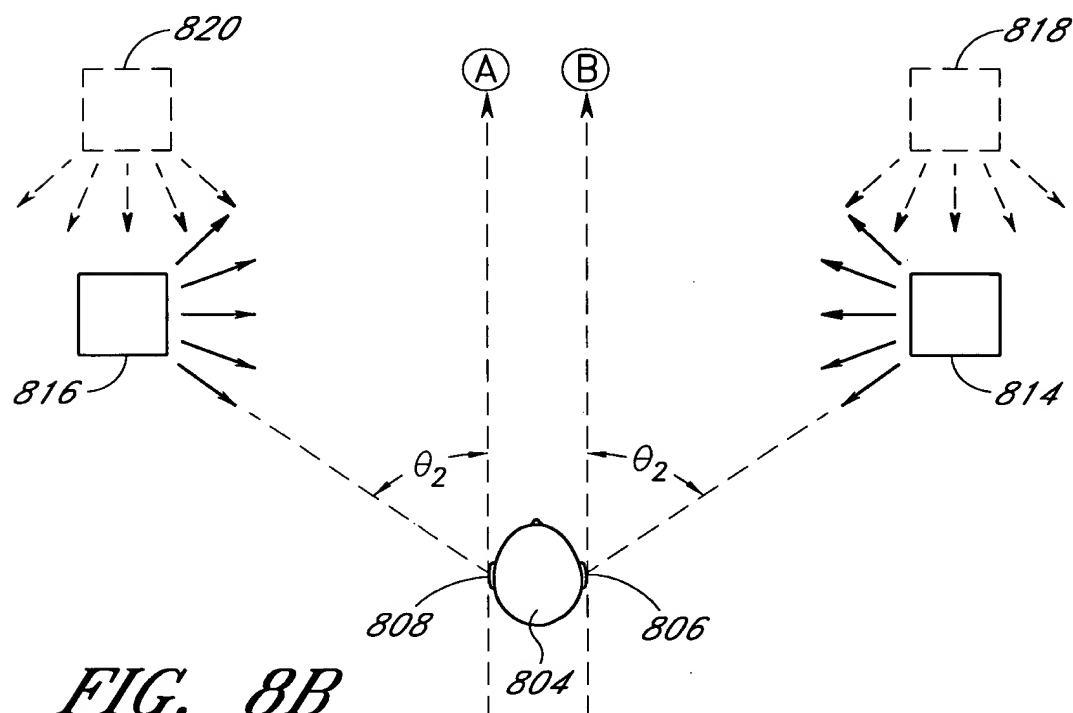
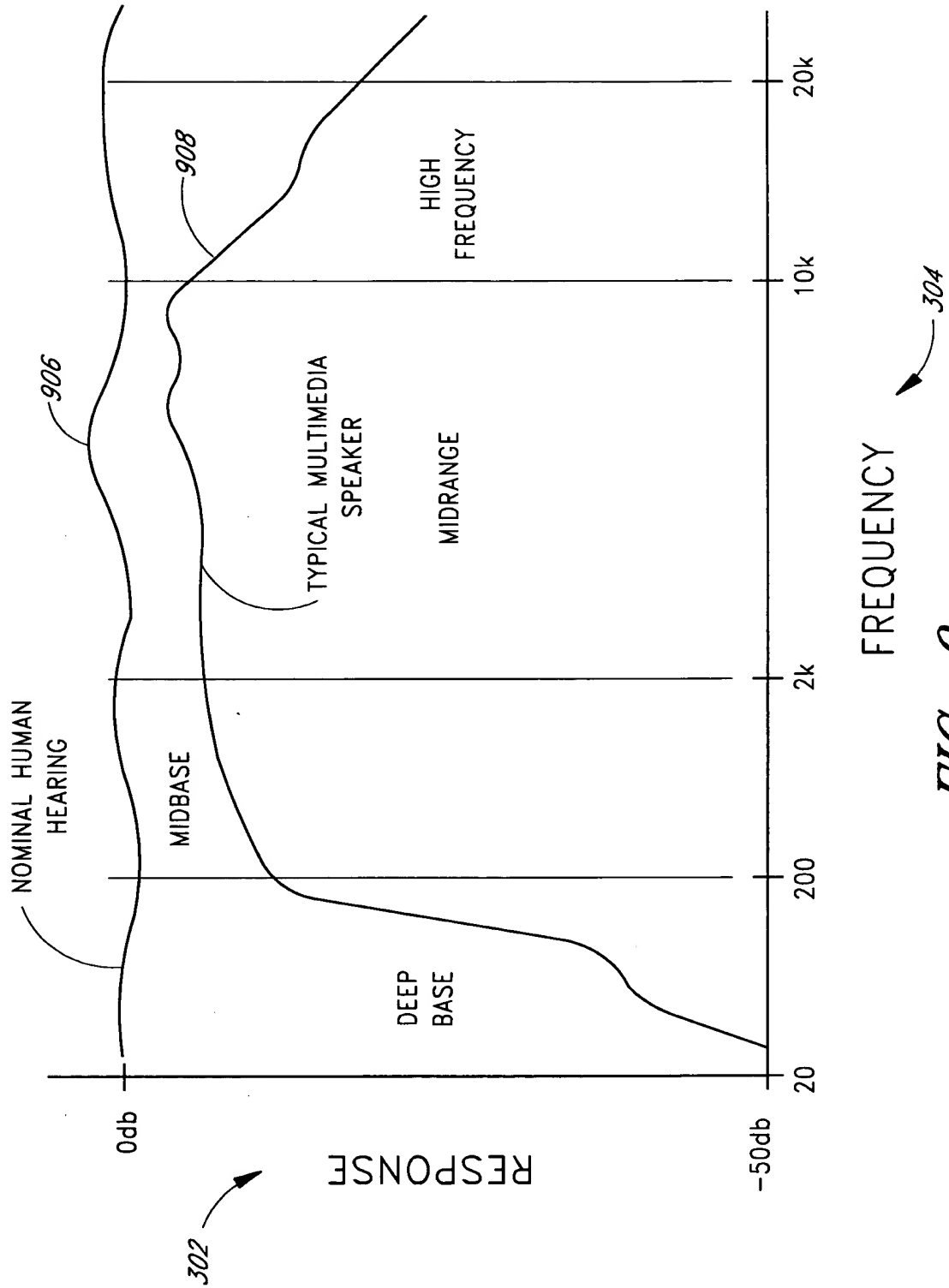


FIG. 8B



12/53

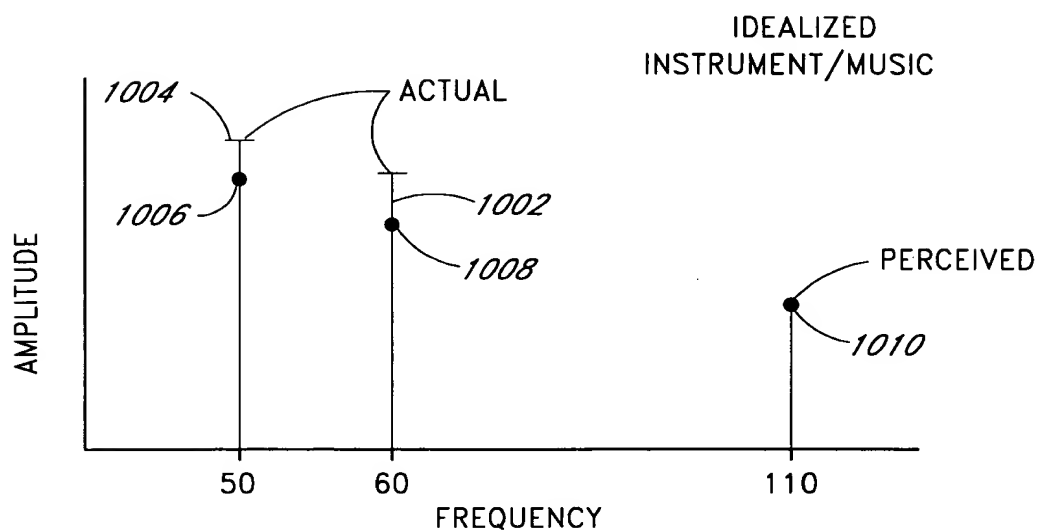


FIG. 10

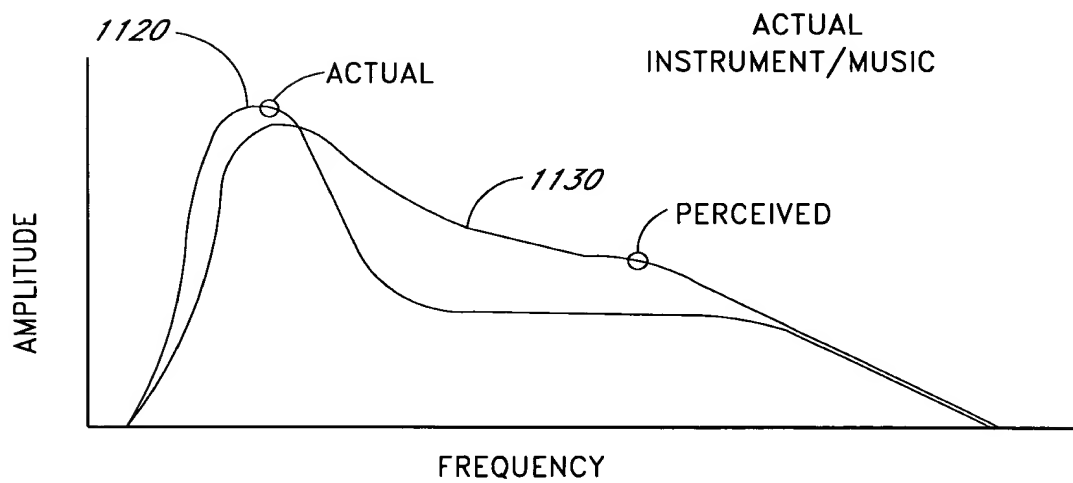


FIG. 11

13/53

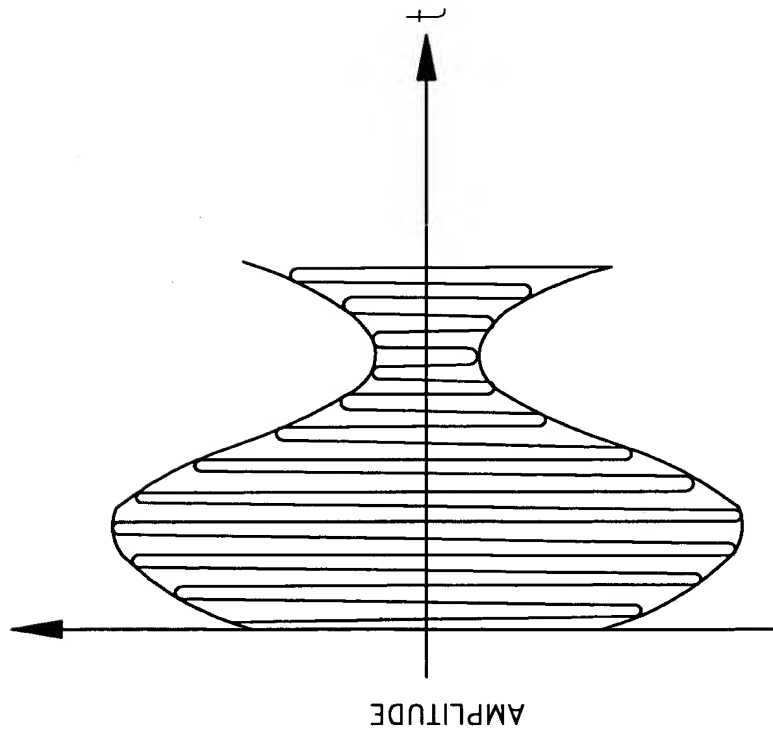


FIG. 12A

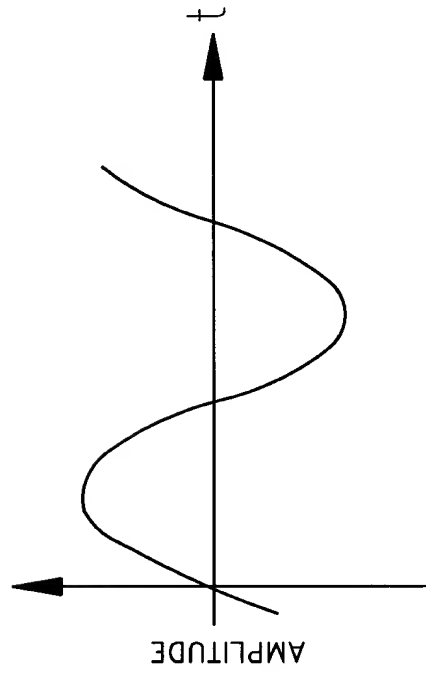


FIG. 12B

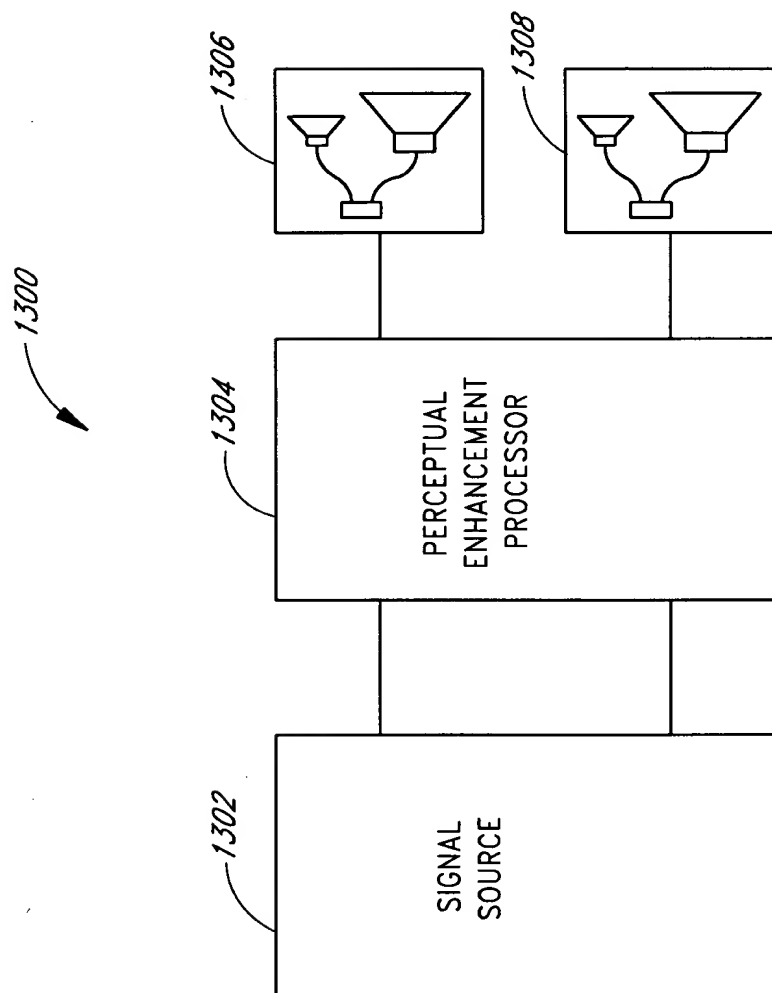


FIG. 13A

15/53

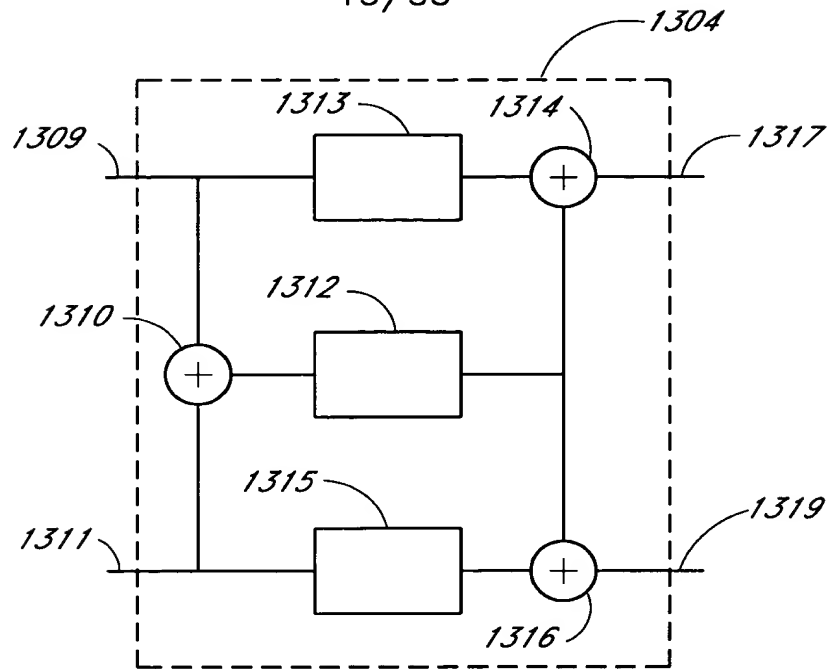


FIG. 13B

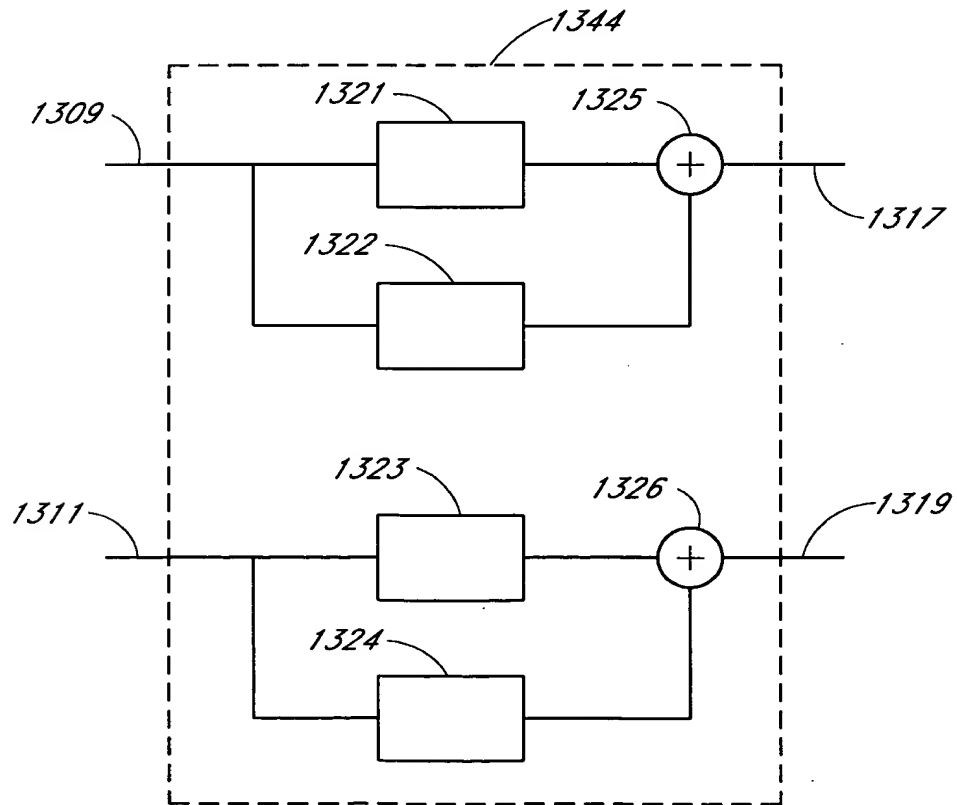


FIG. 13C

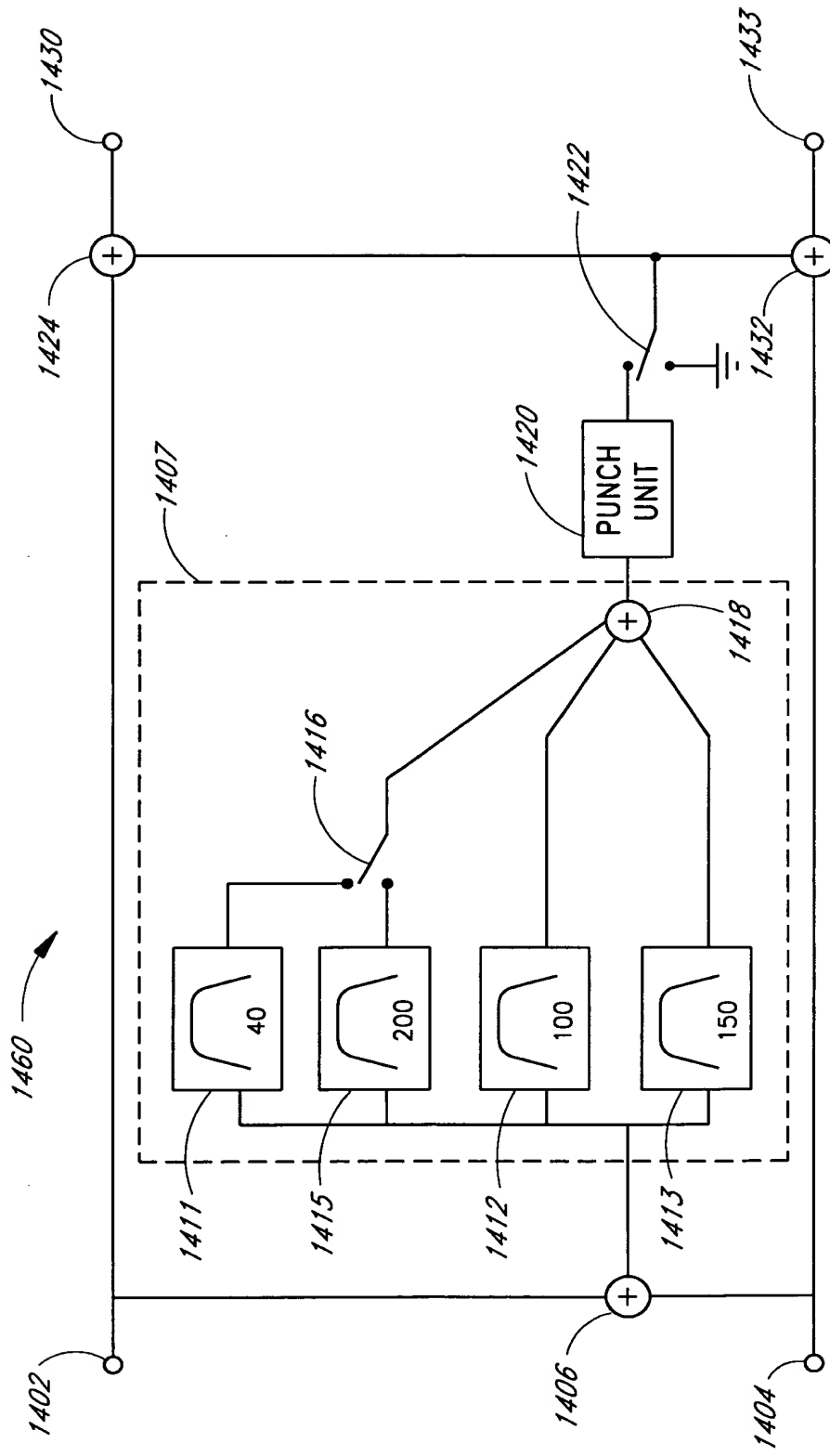


FIG. 14

17/53

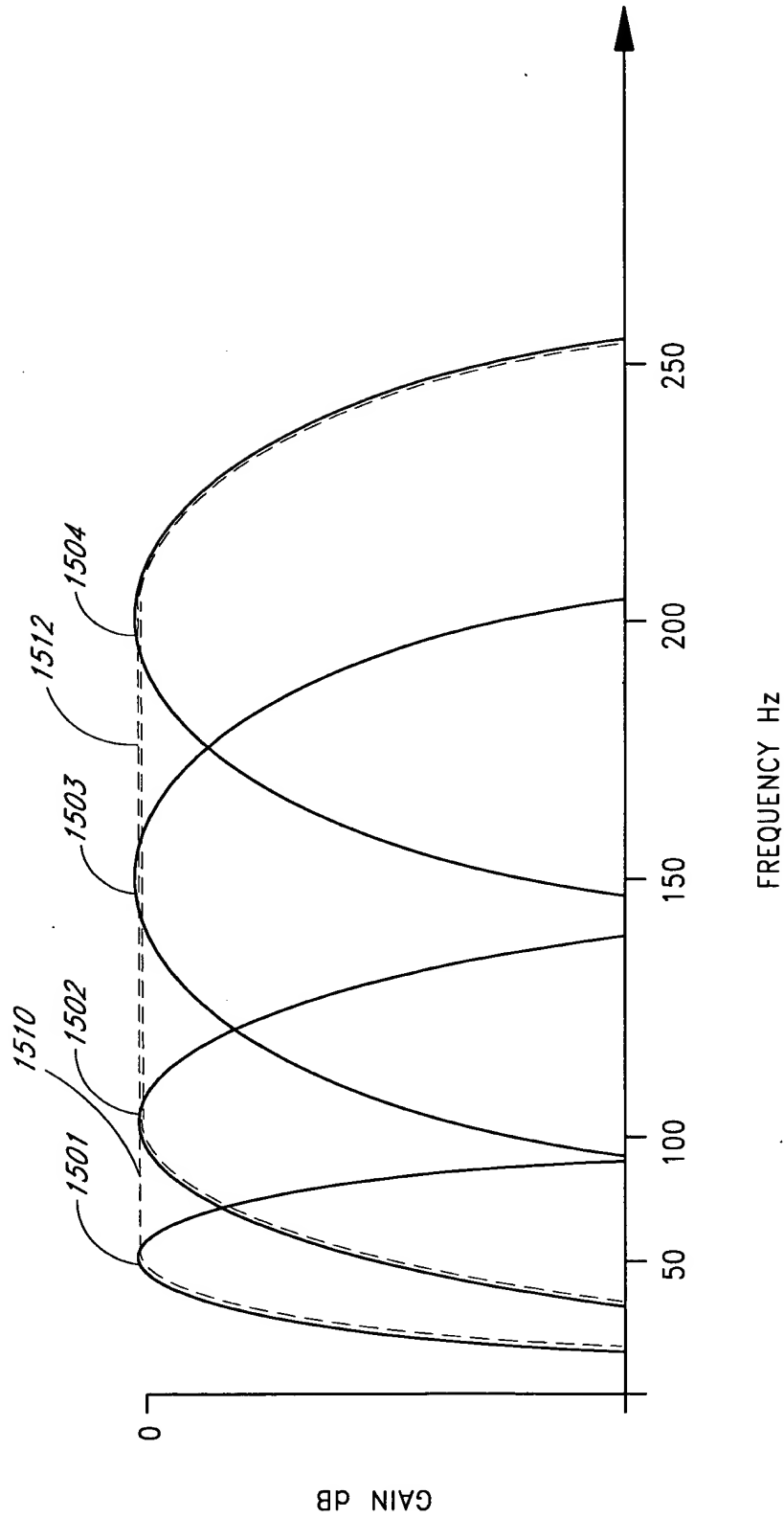
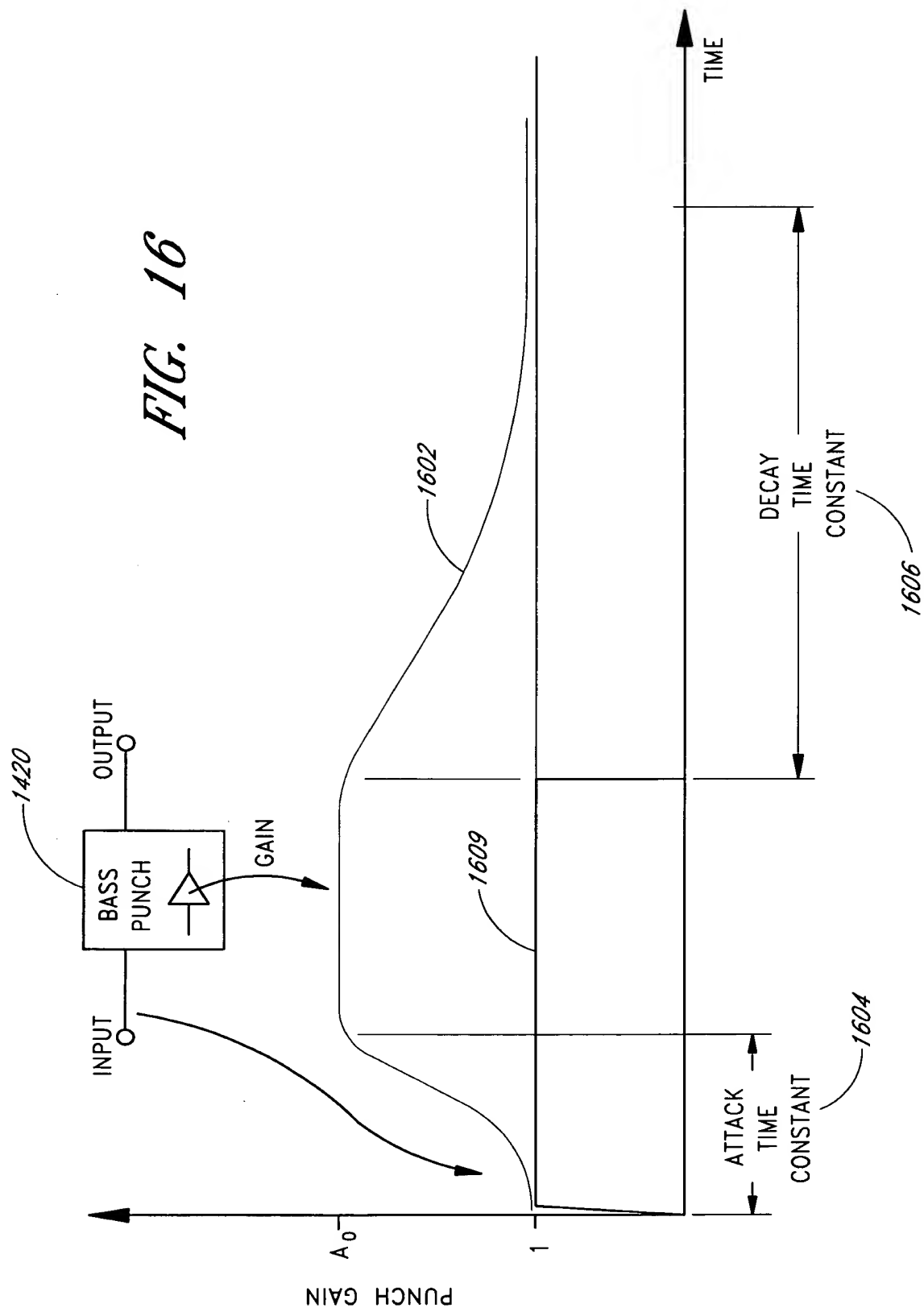


FIG. 15

FIG. 16



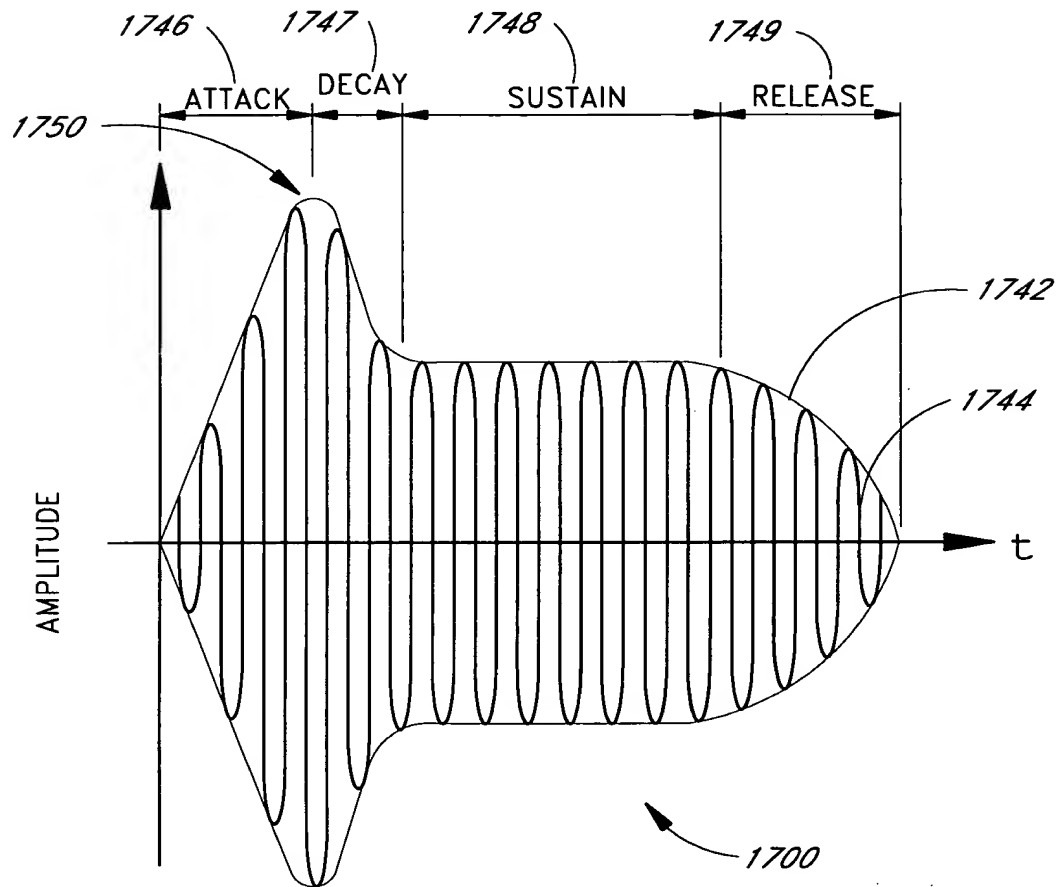


FIG. 17

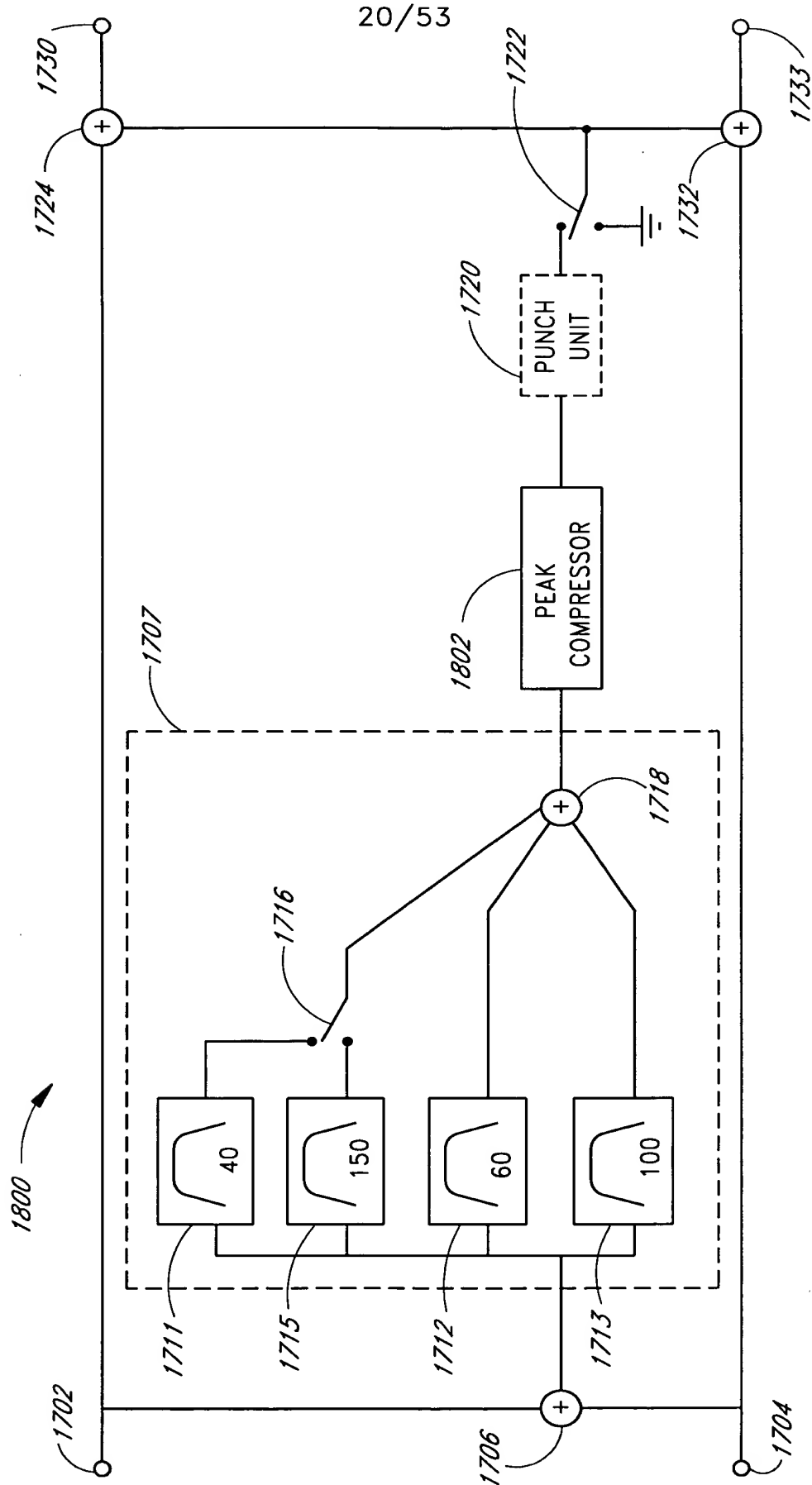


FIG. 18

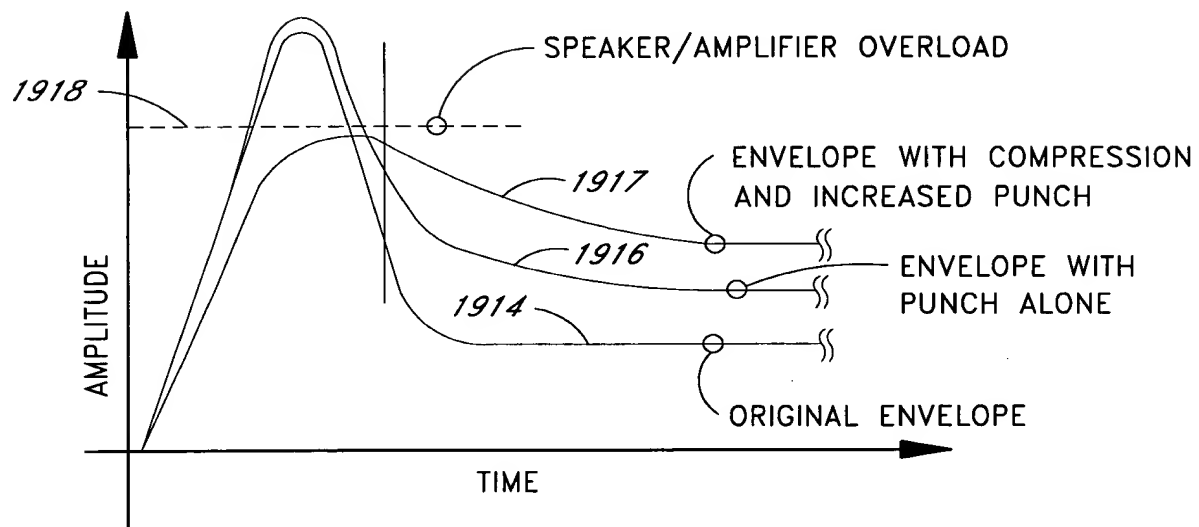


FIG. 19

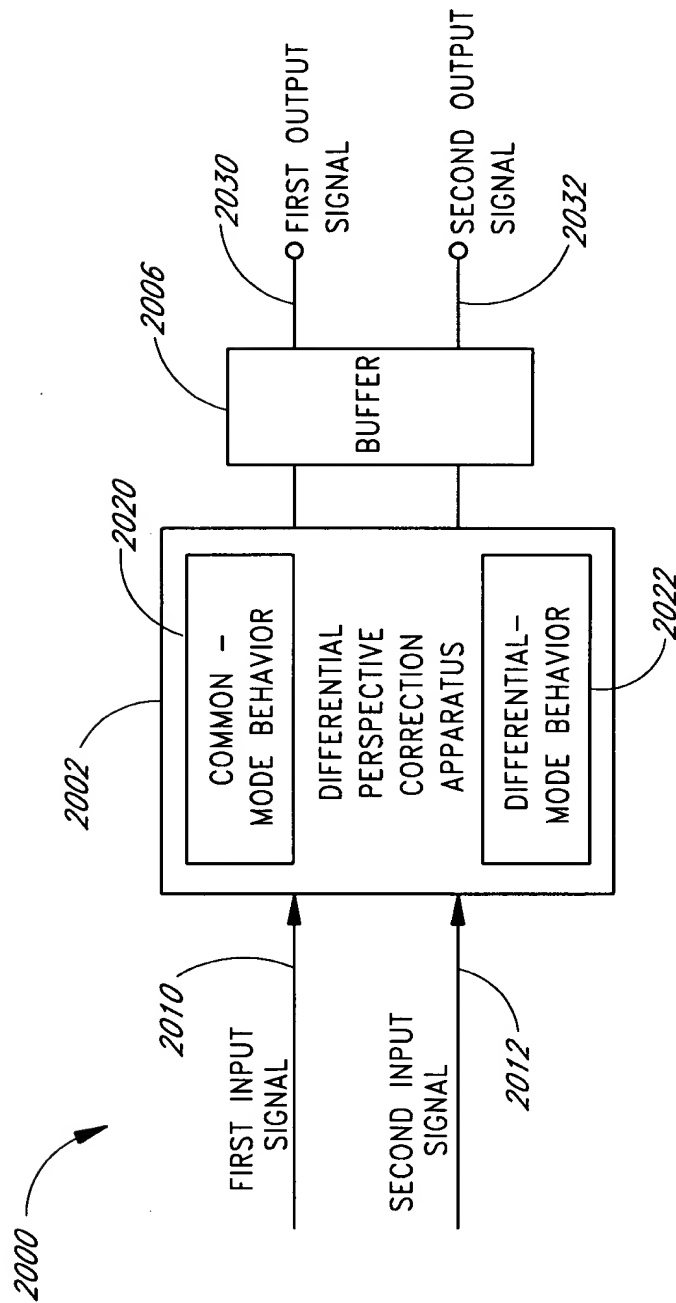


FIG. 20

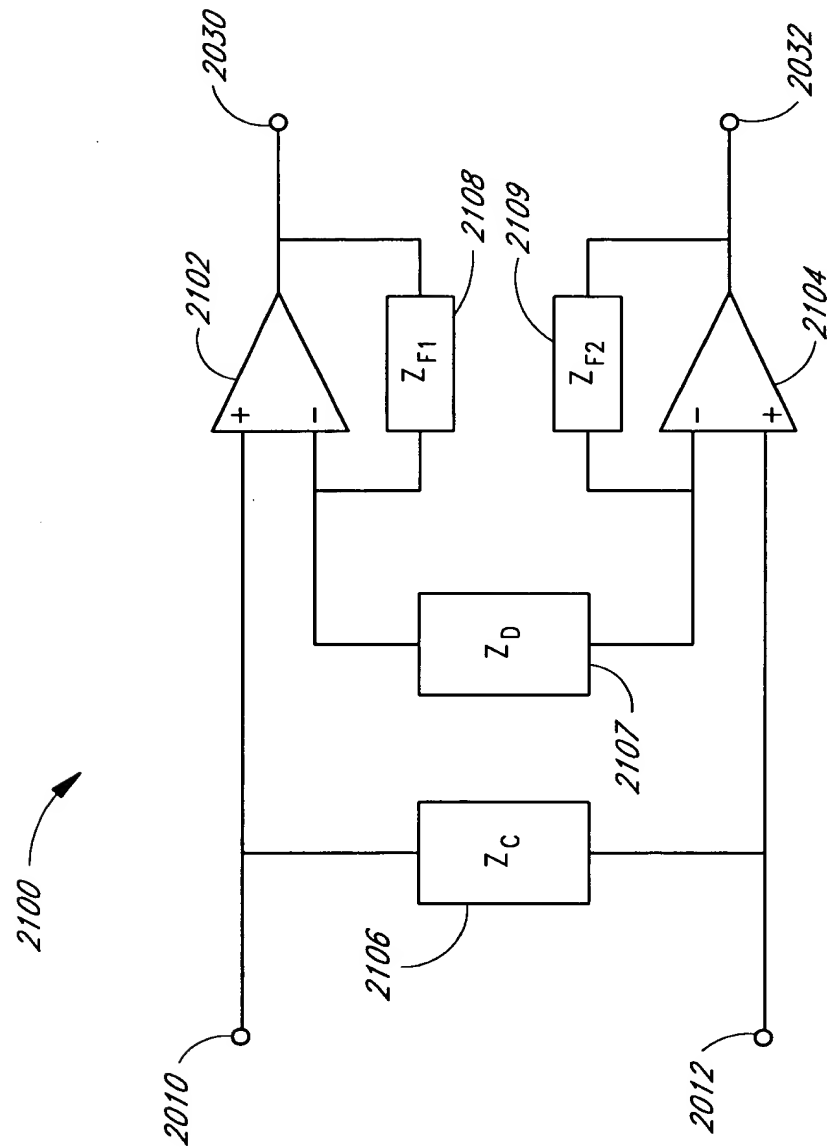


FIG. 21

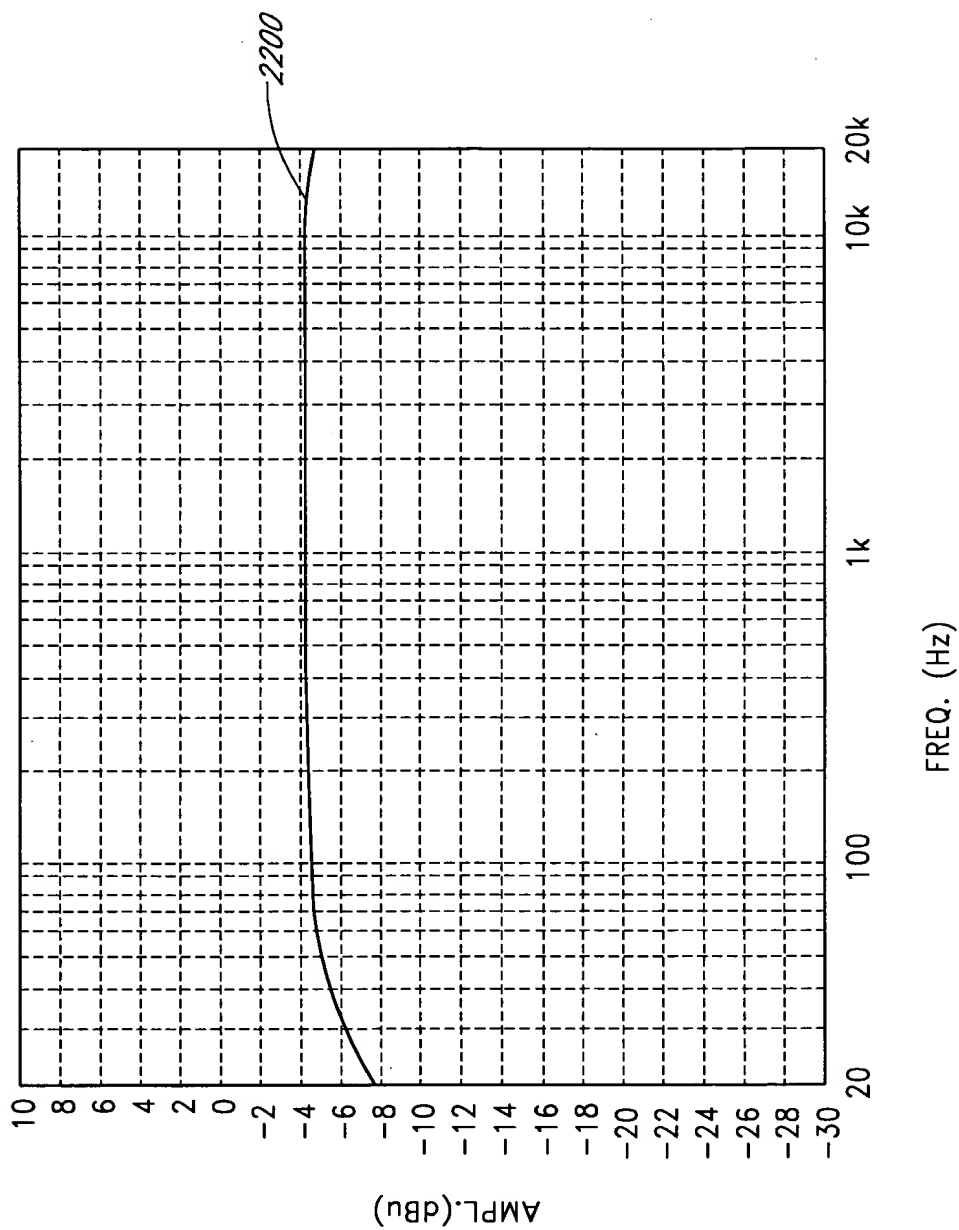


FIG. 22

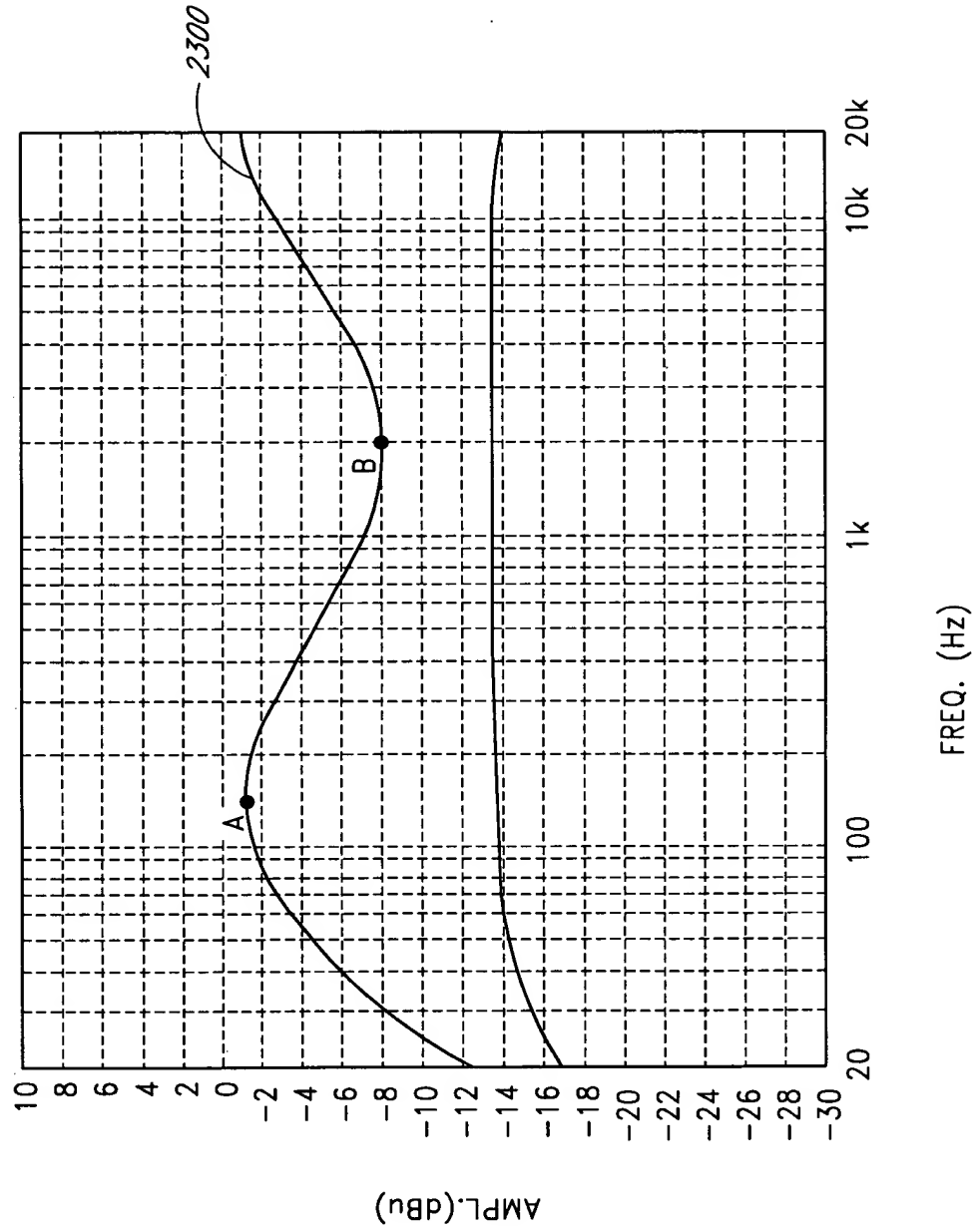


FIG. 23

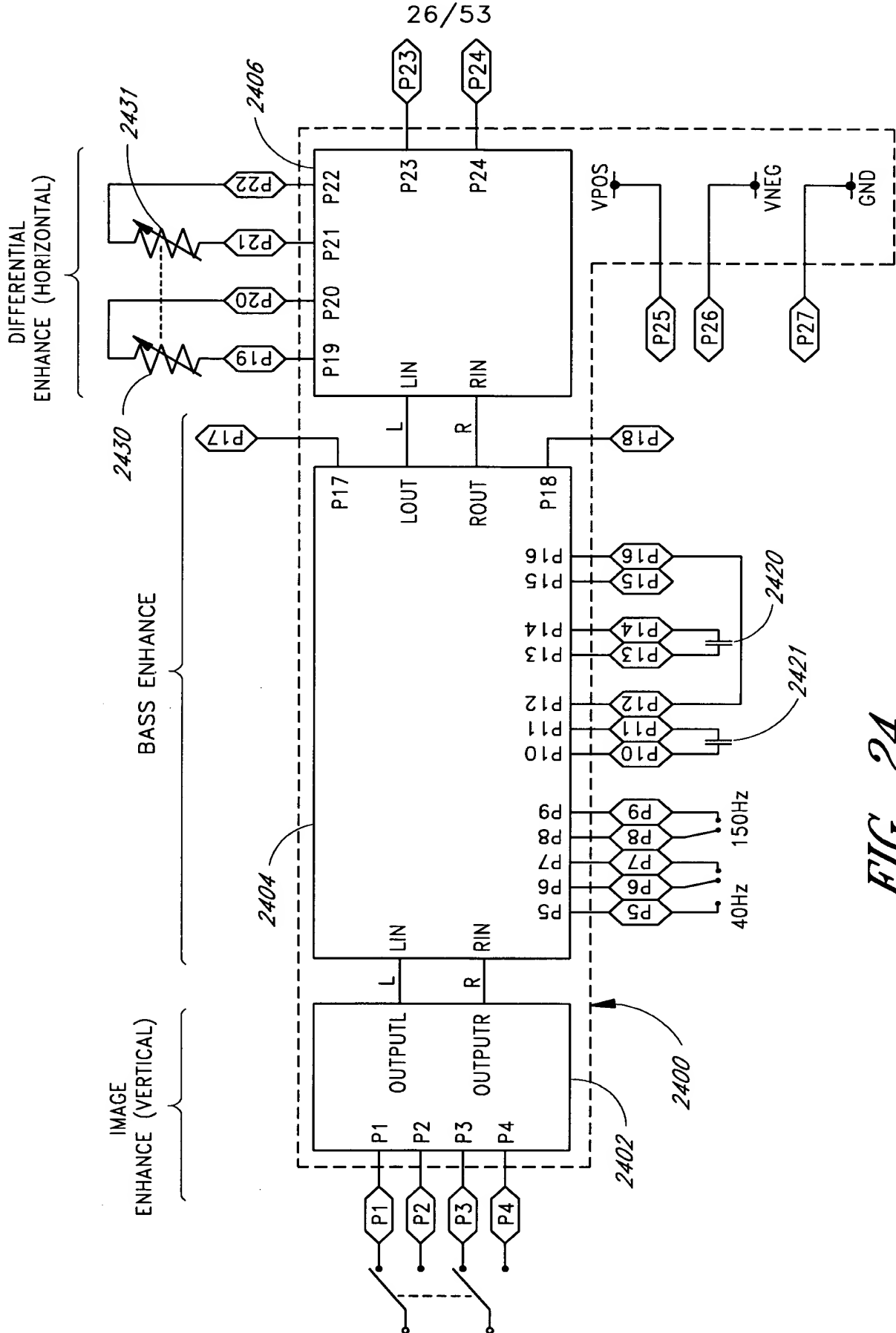
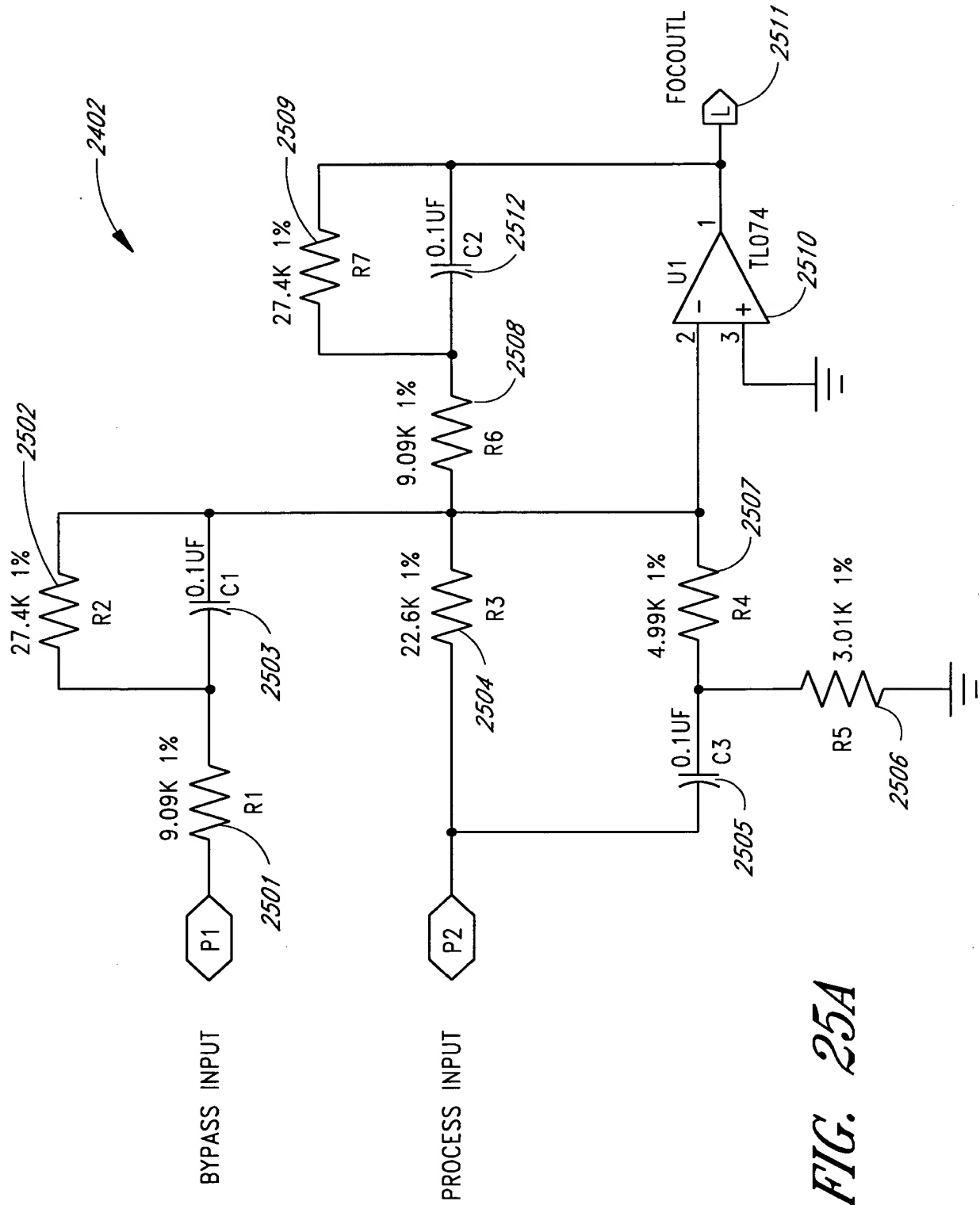
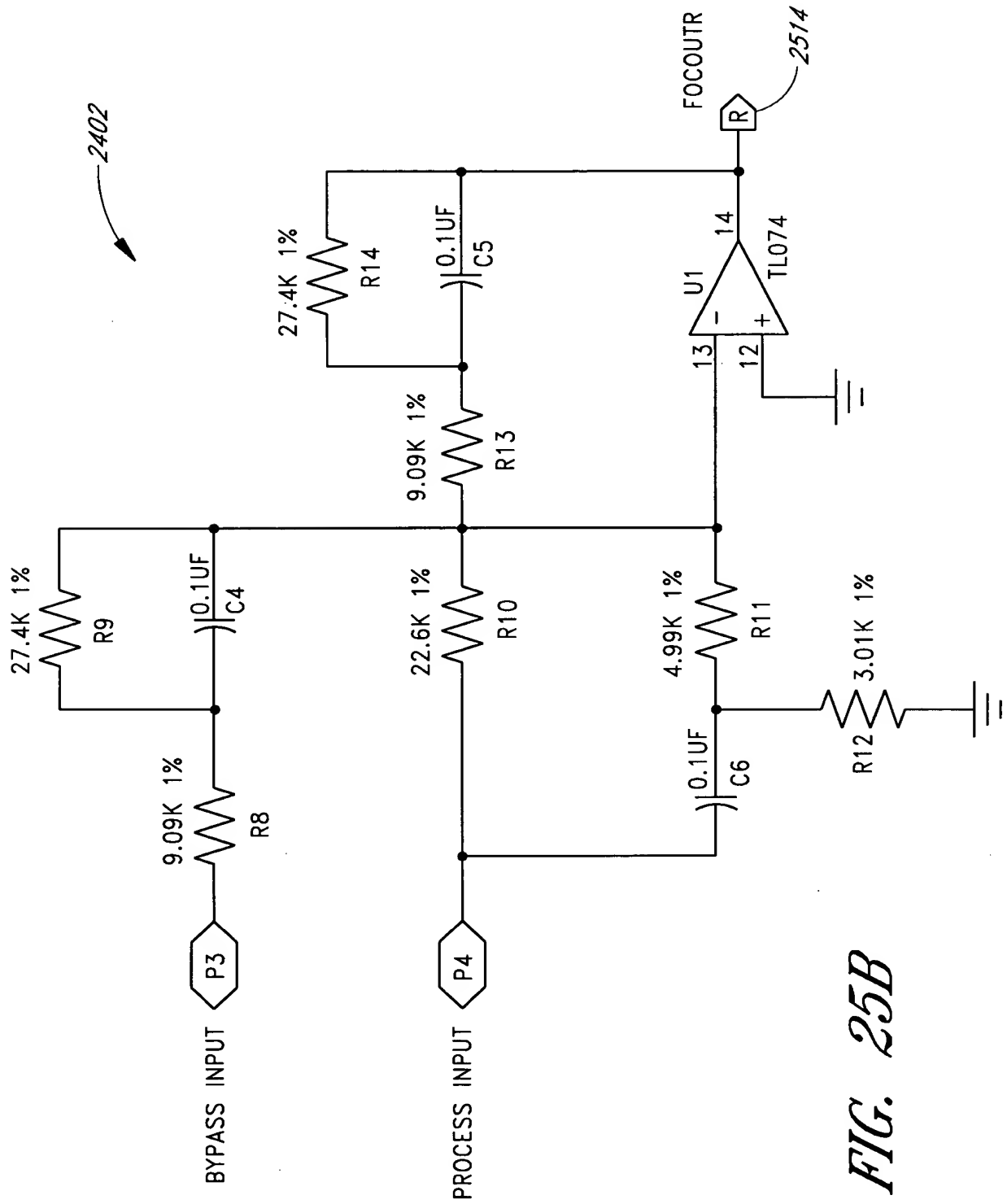


FIG. 24





<i>FIG. 26</i>	<i>FIG. 26A</i>	<i>FIG. 26A</i>
----------------	-----------------	-----------------

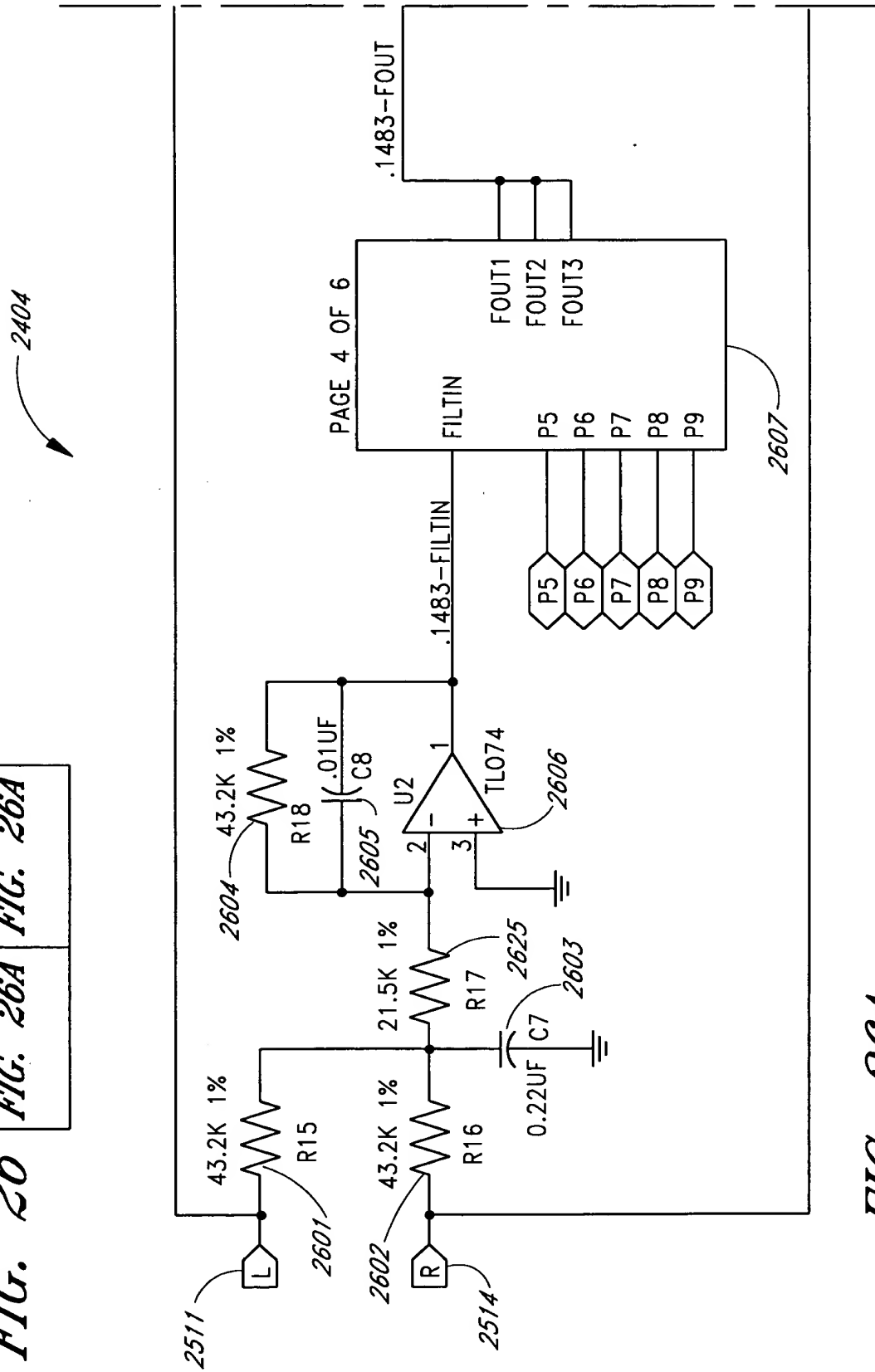


FIG. 26A

30/53

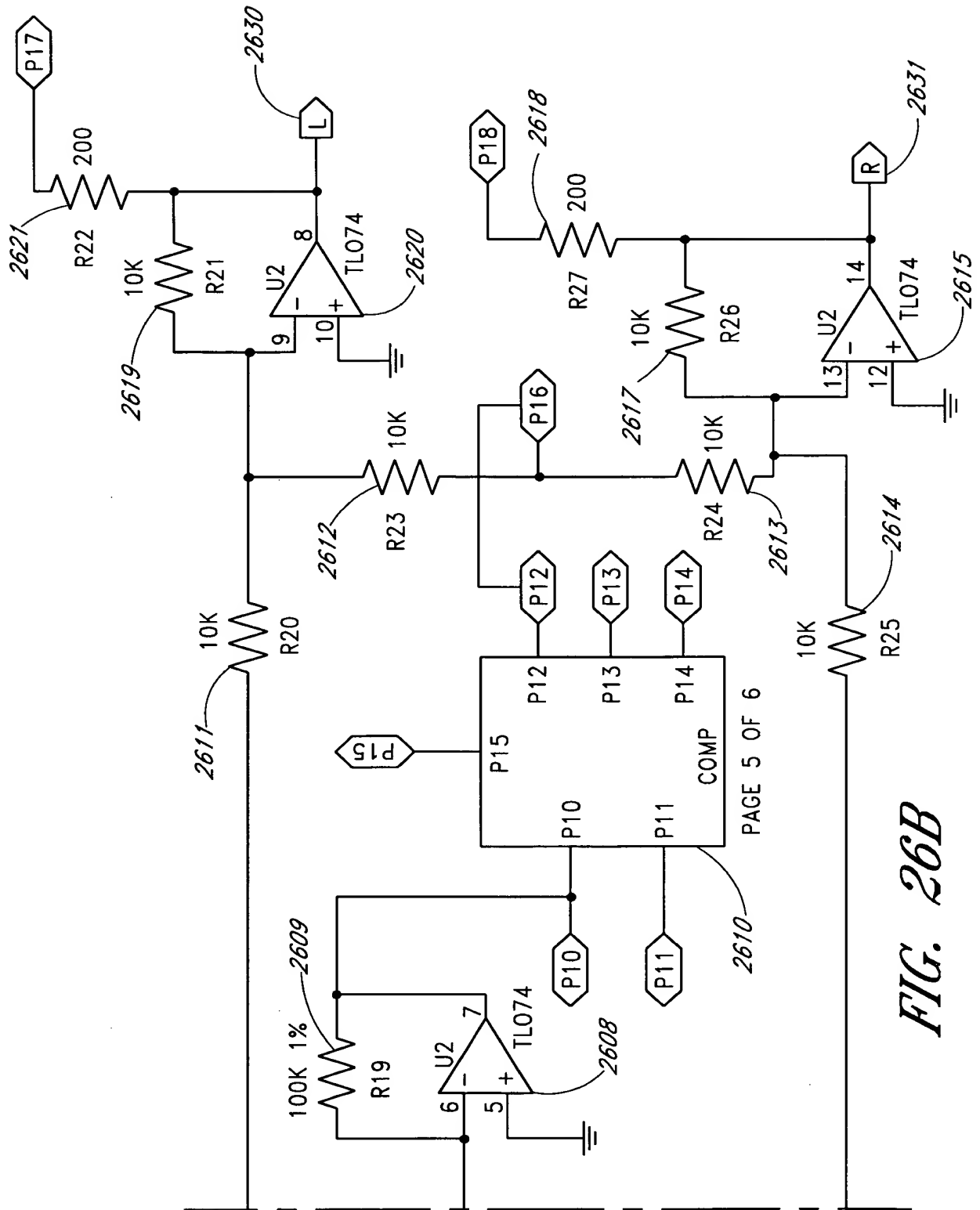


FIG. 26B

31/53

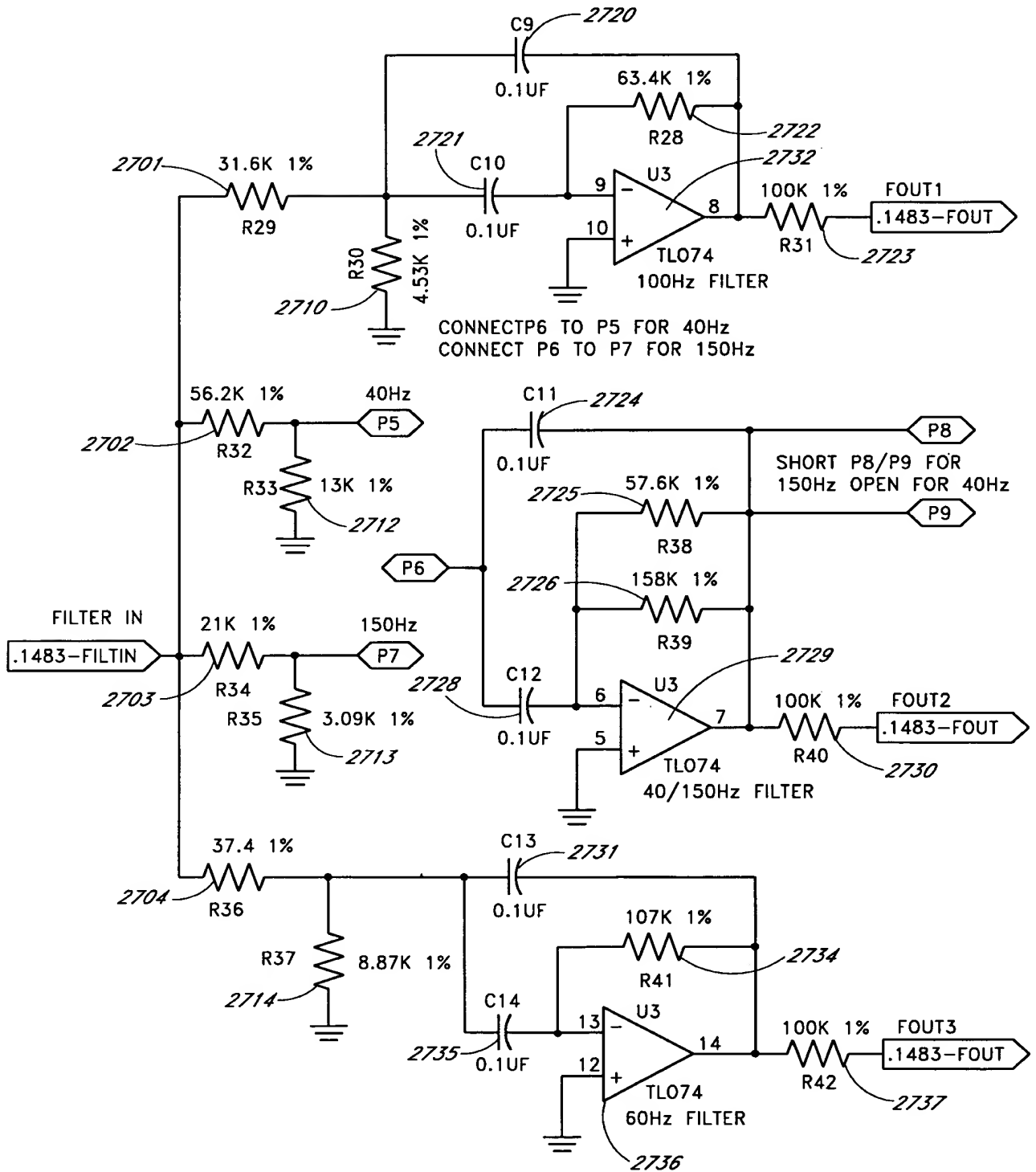
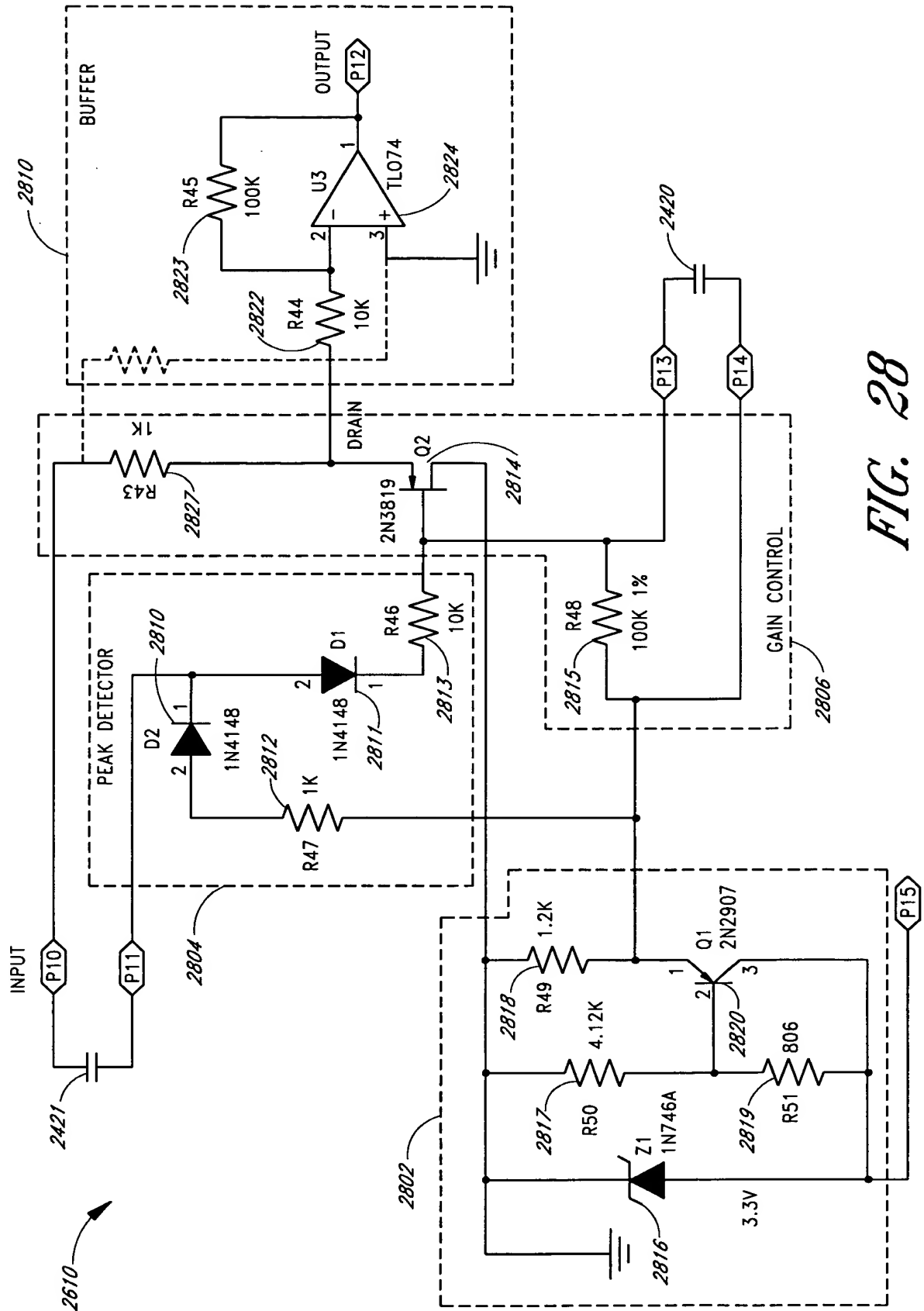
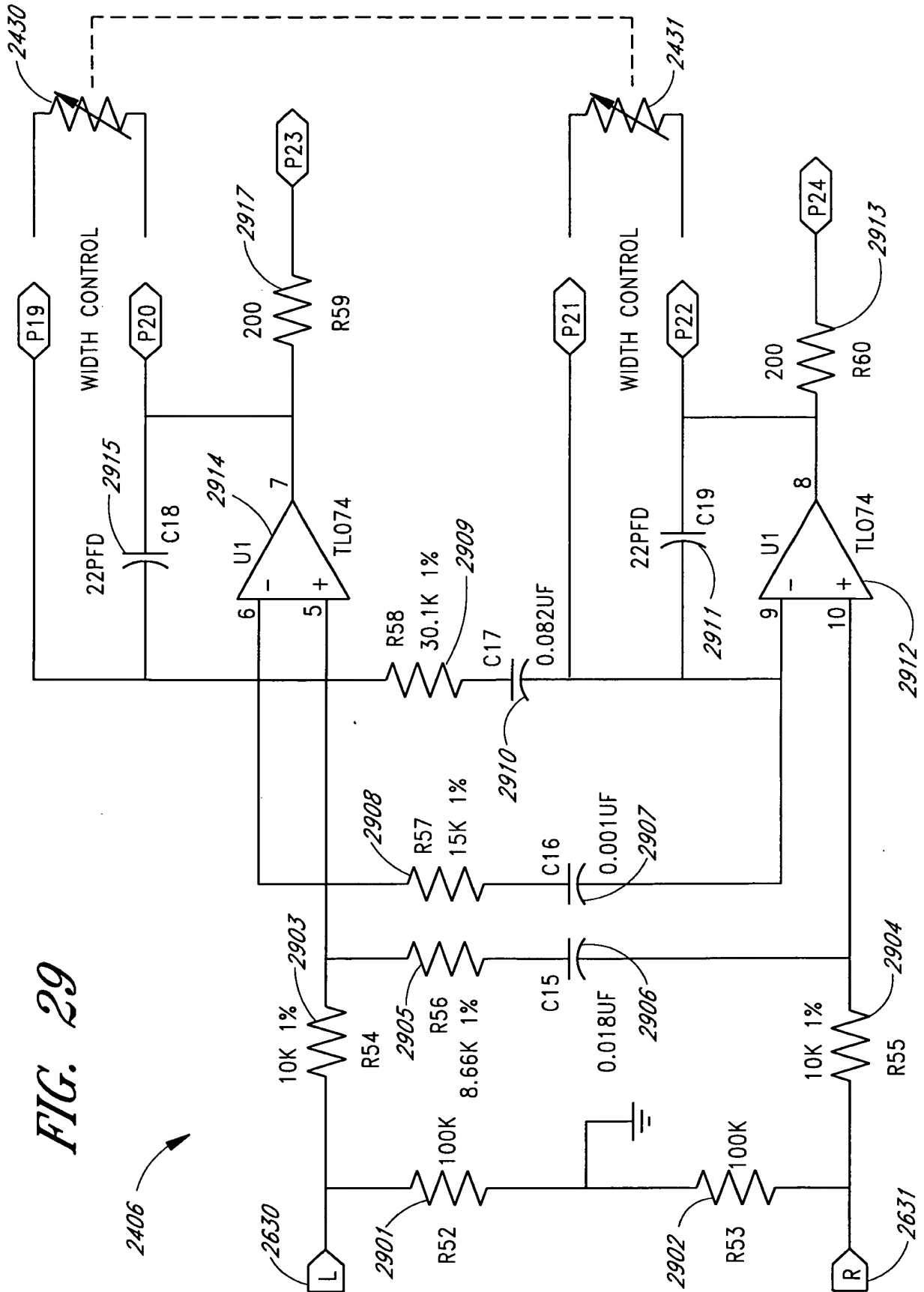


FIG. 27

32/53





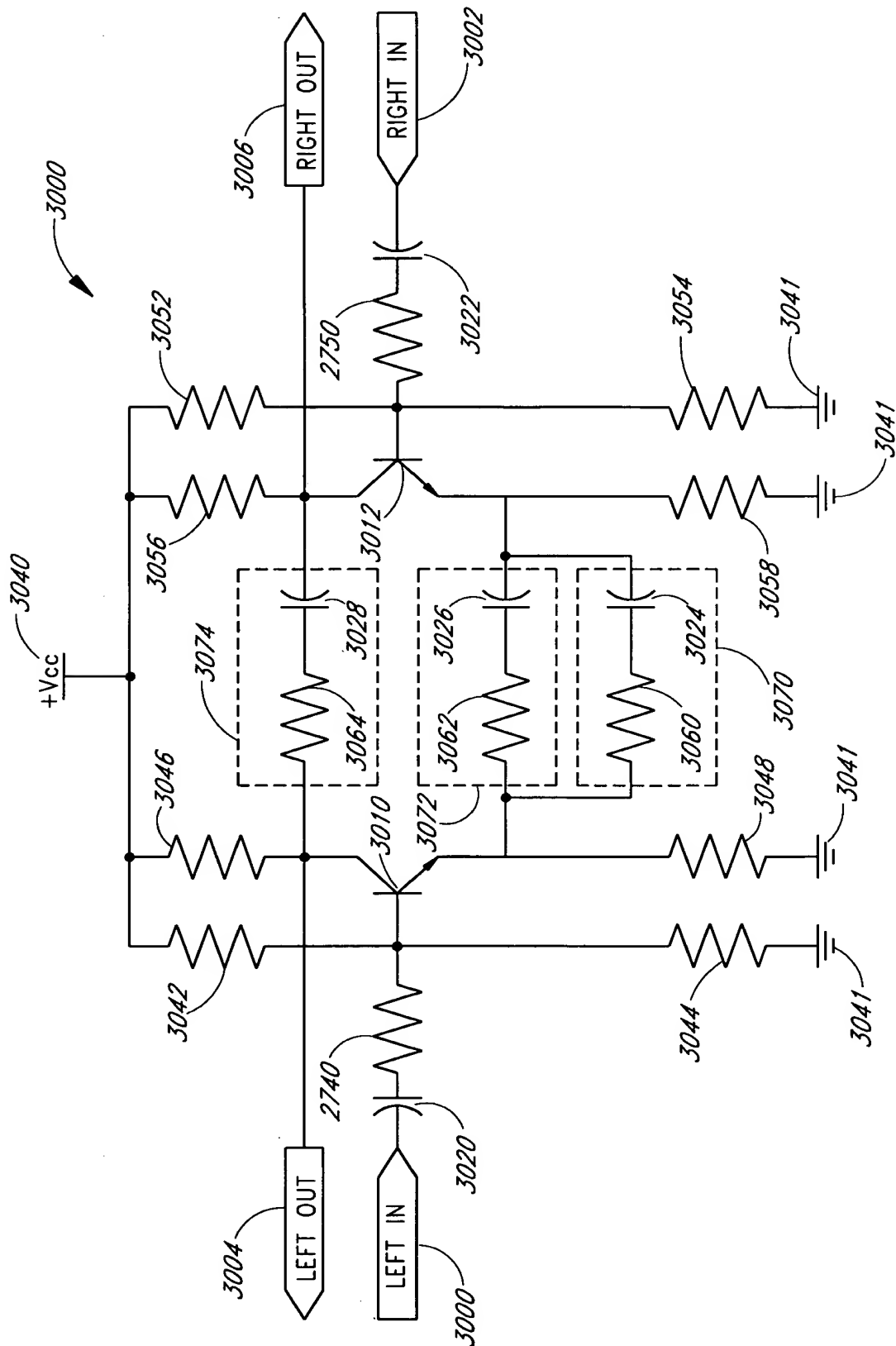
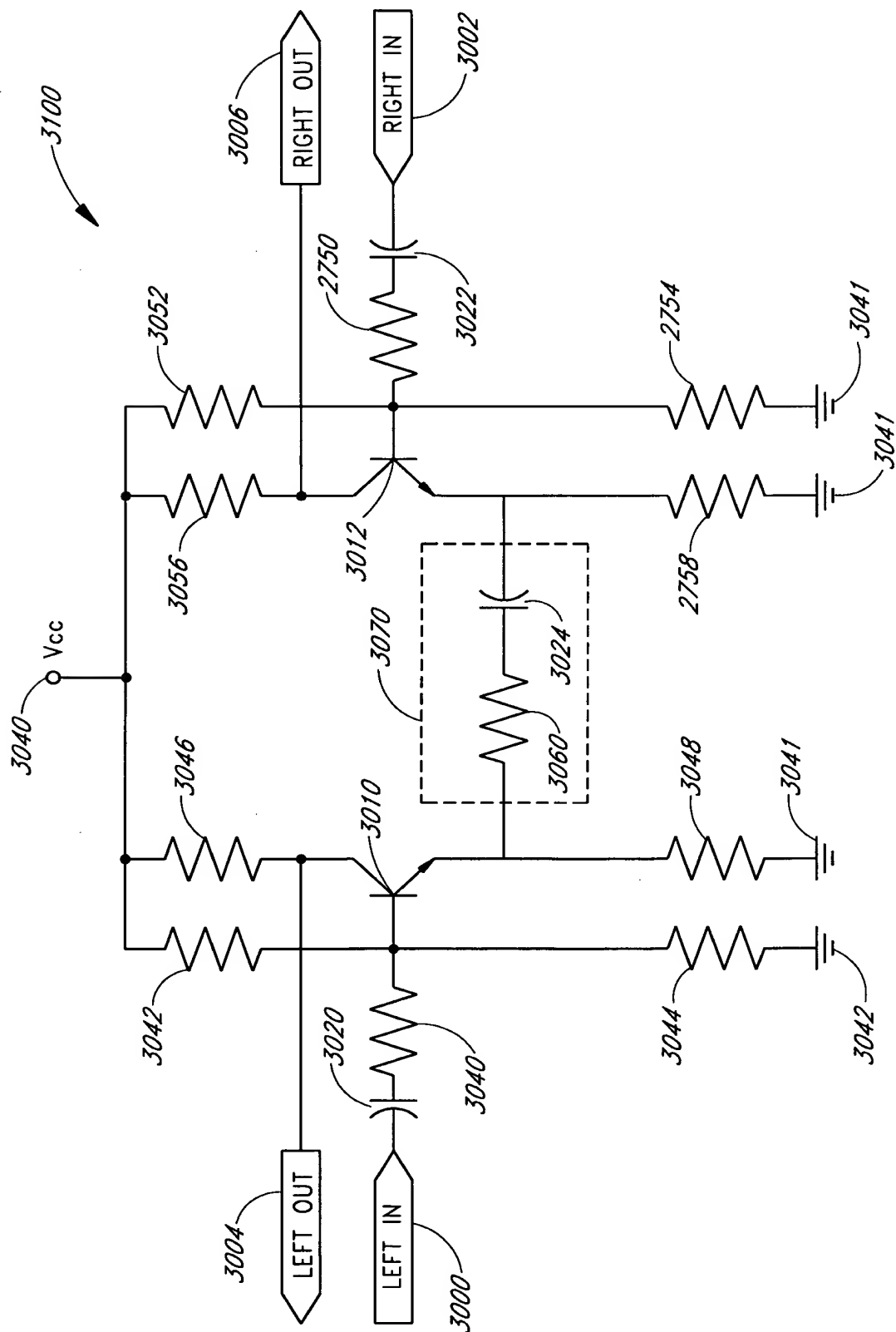


FIG. 30



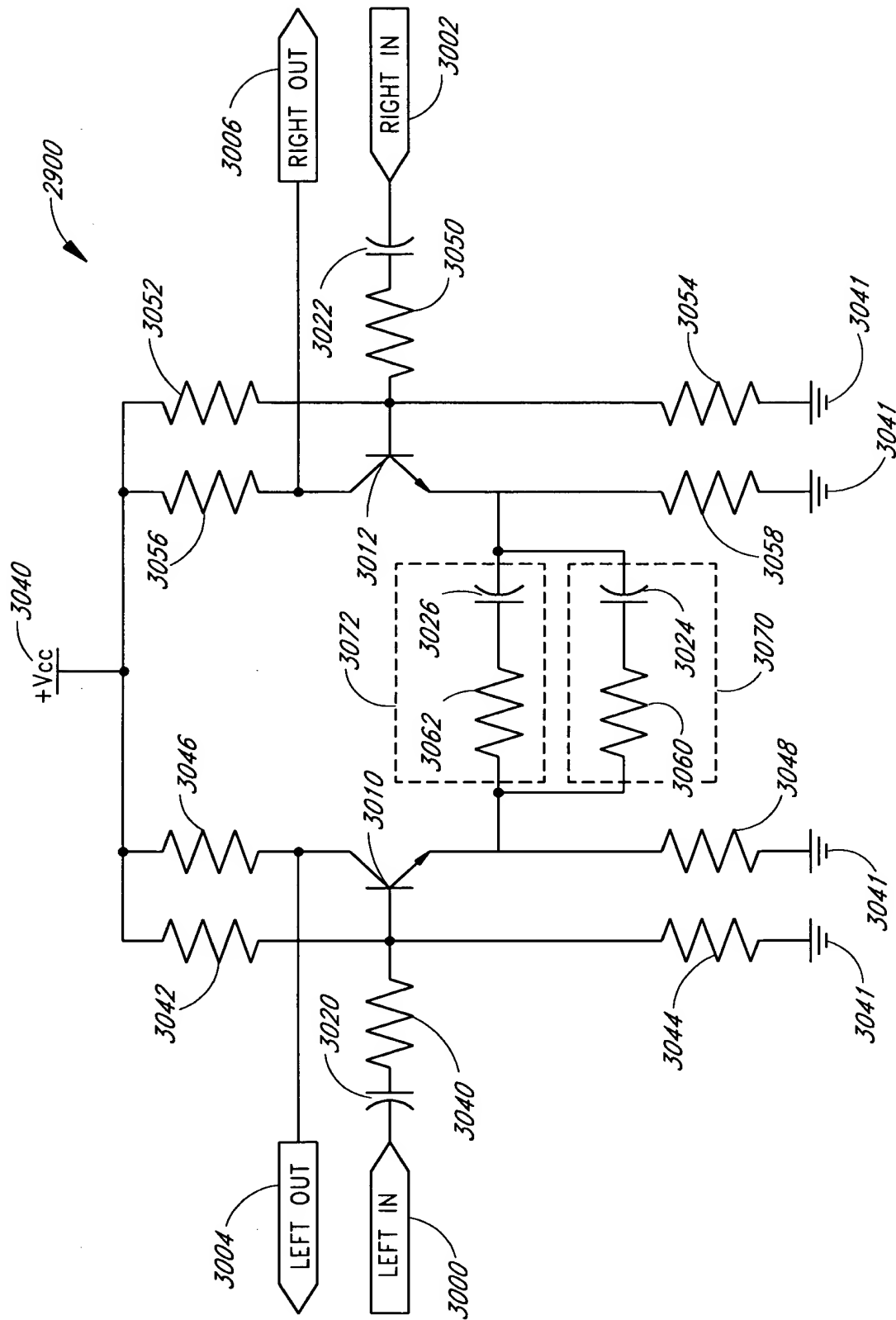
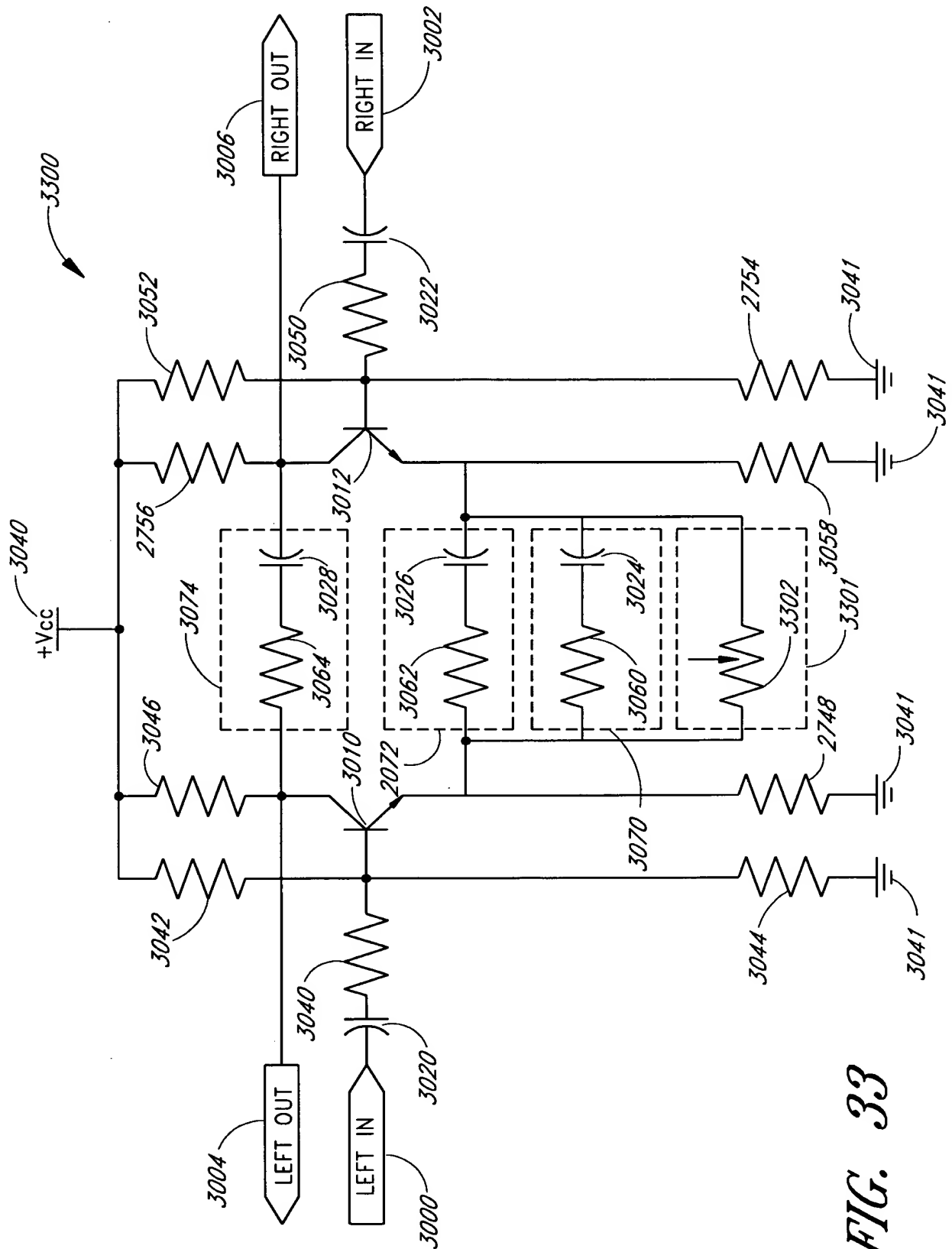


FIG. 32



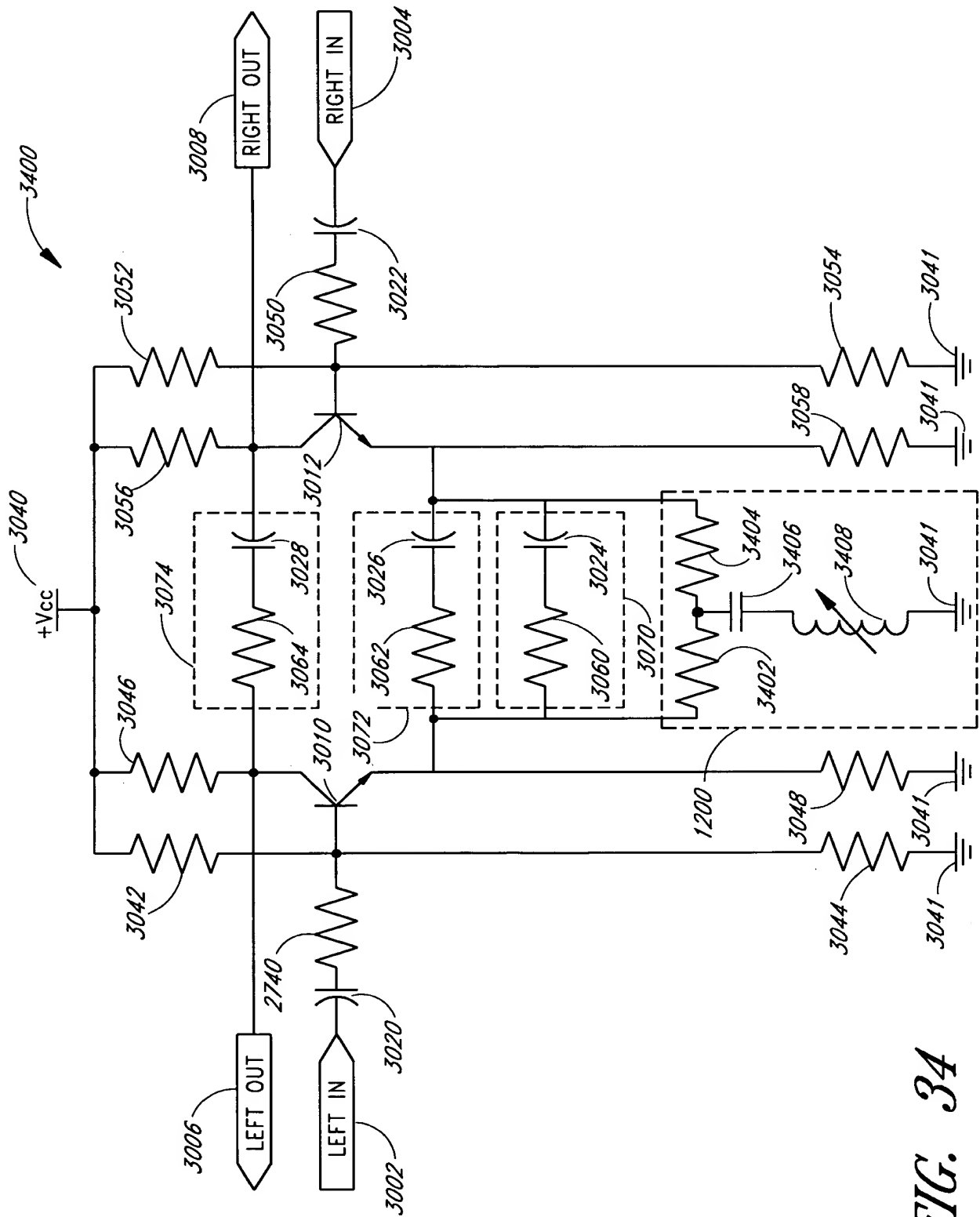


FIG. 34

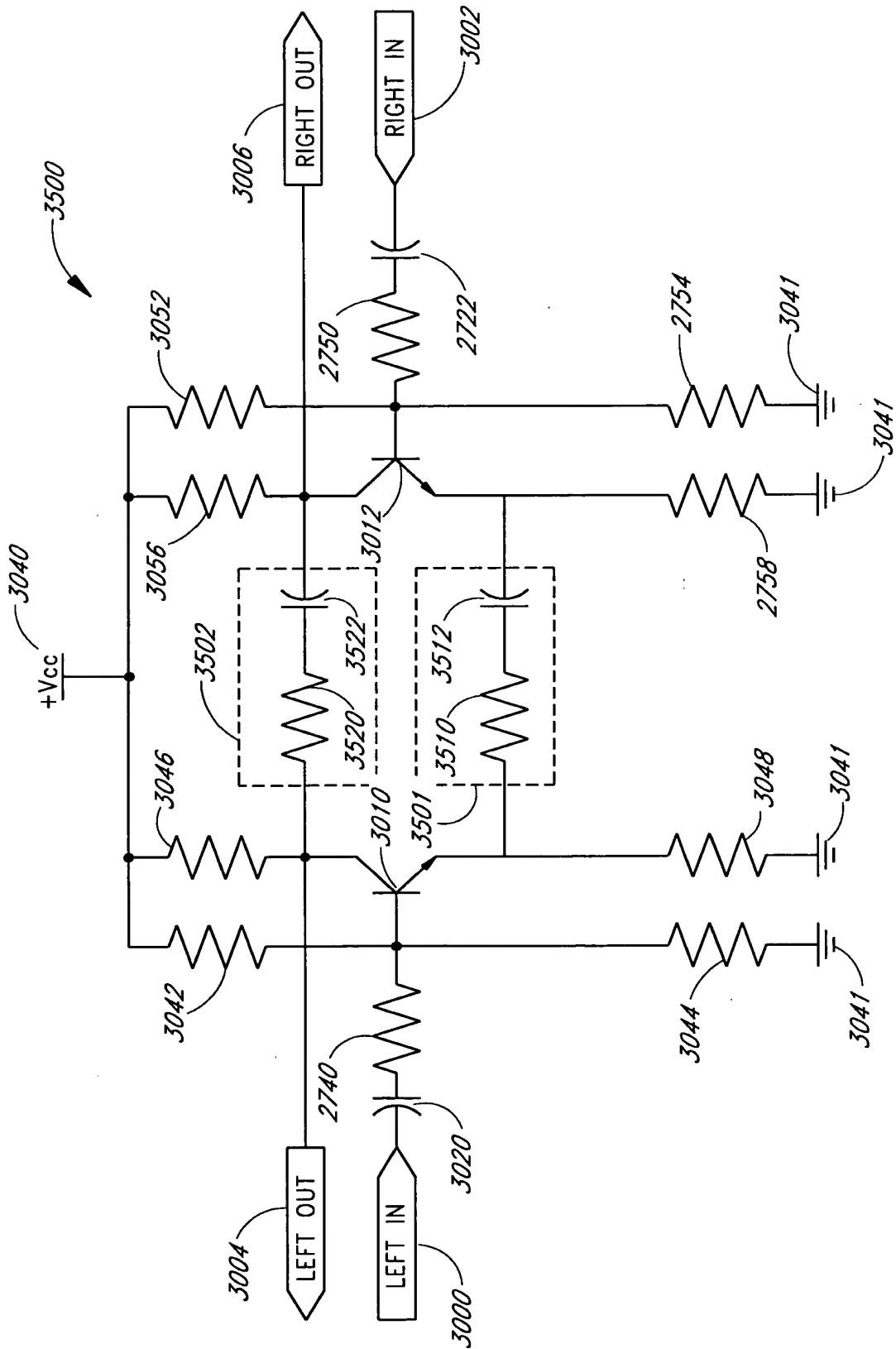


FIG. 35

Yuen et al.

40/53



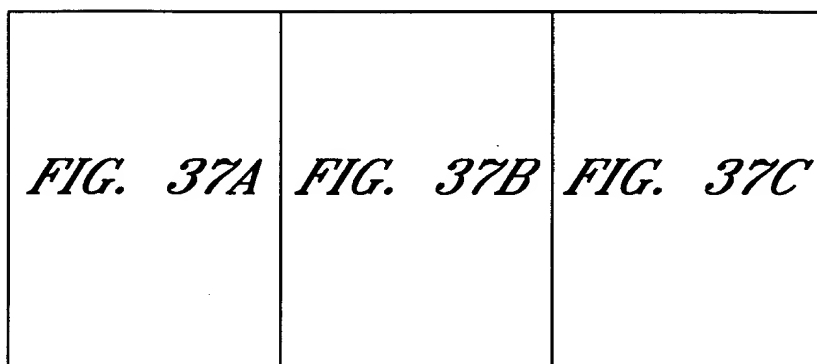
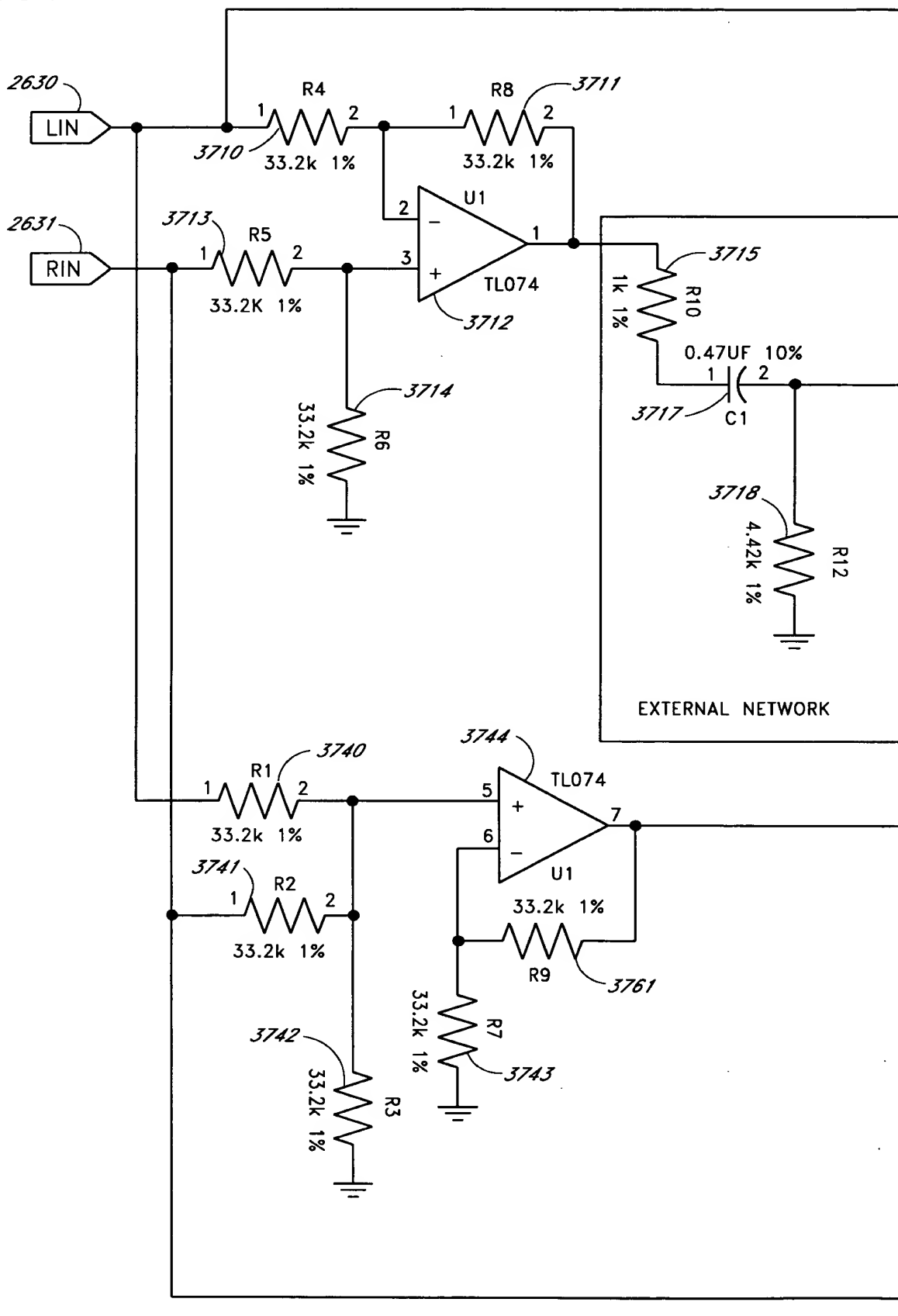


FIG. 37

FIG. 37A



ACOUSTIC CORRECTION APPARATUS

Yuen et al.

Appl. No.: 09/411,143 Atty Docket: SRSLABS.257A

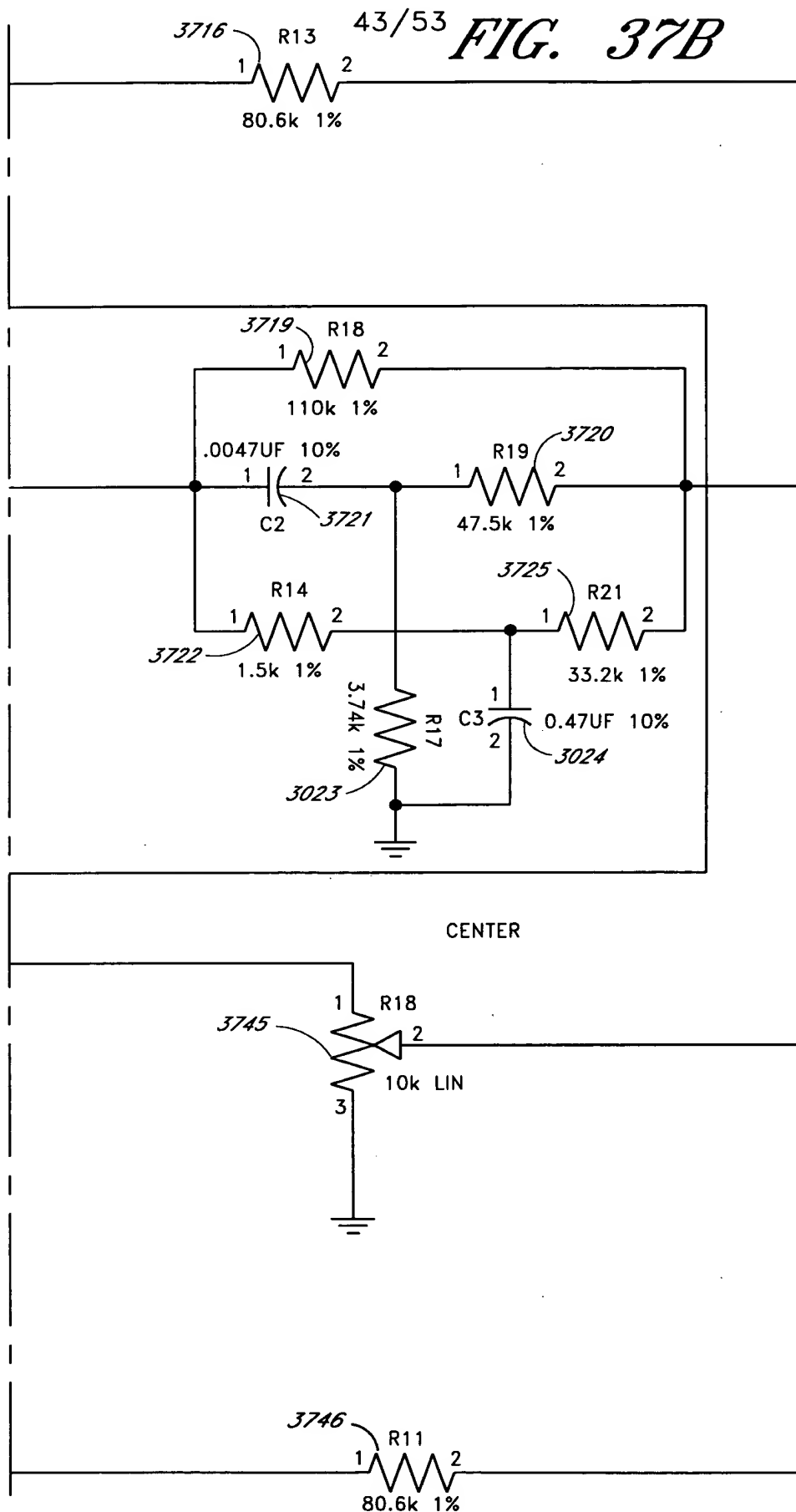
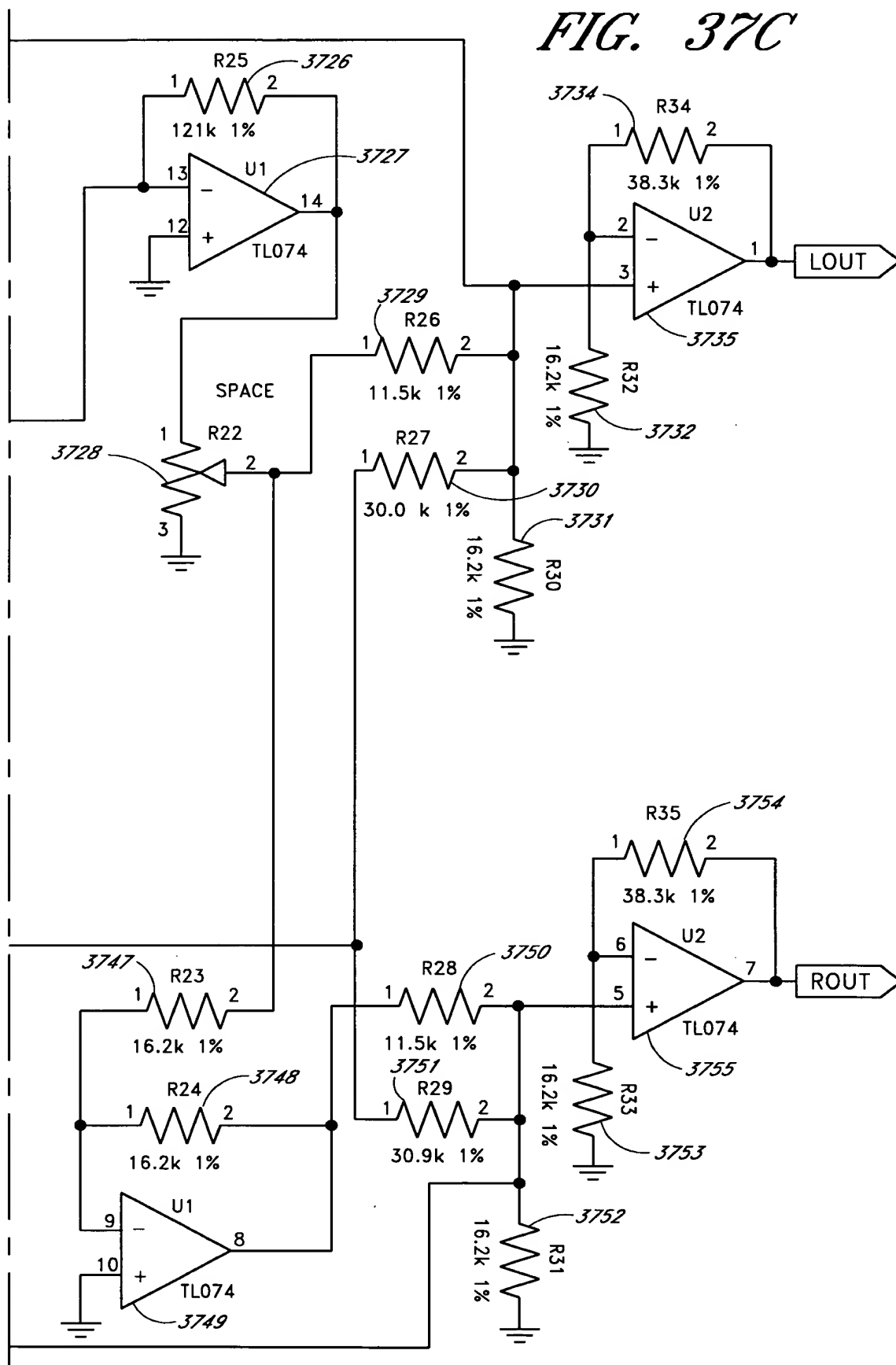


FIG. 37C



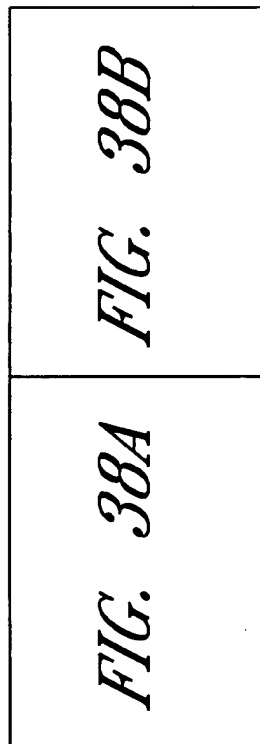


FIG. 38

46/53

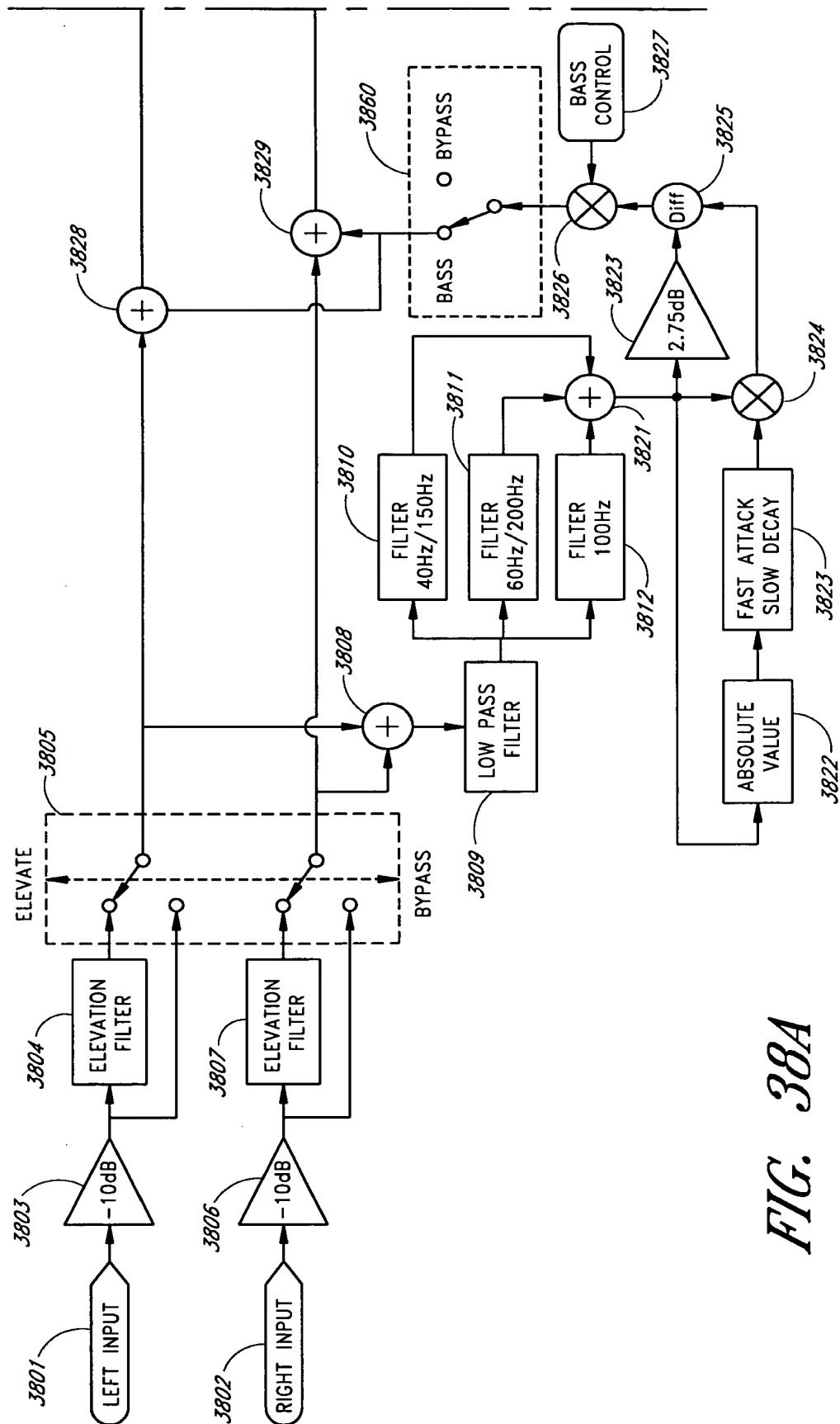


FIG. 38A

Yuen et al.
Appl. No.: 09/411,143 Atty Docket: SRSLABS.257A

Appl. No.: 09/411,143 Atty Docket: SRSLABS.257A

47/53

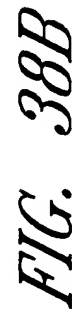


FIG. 38B

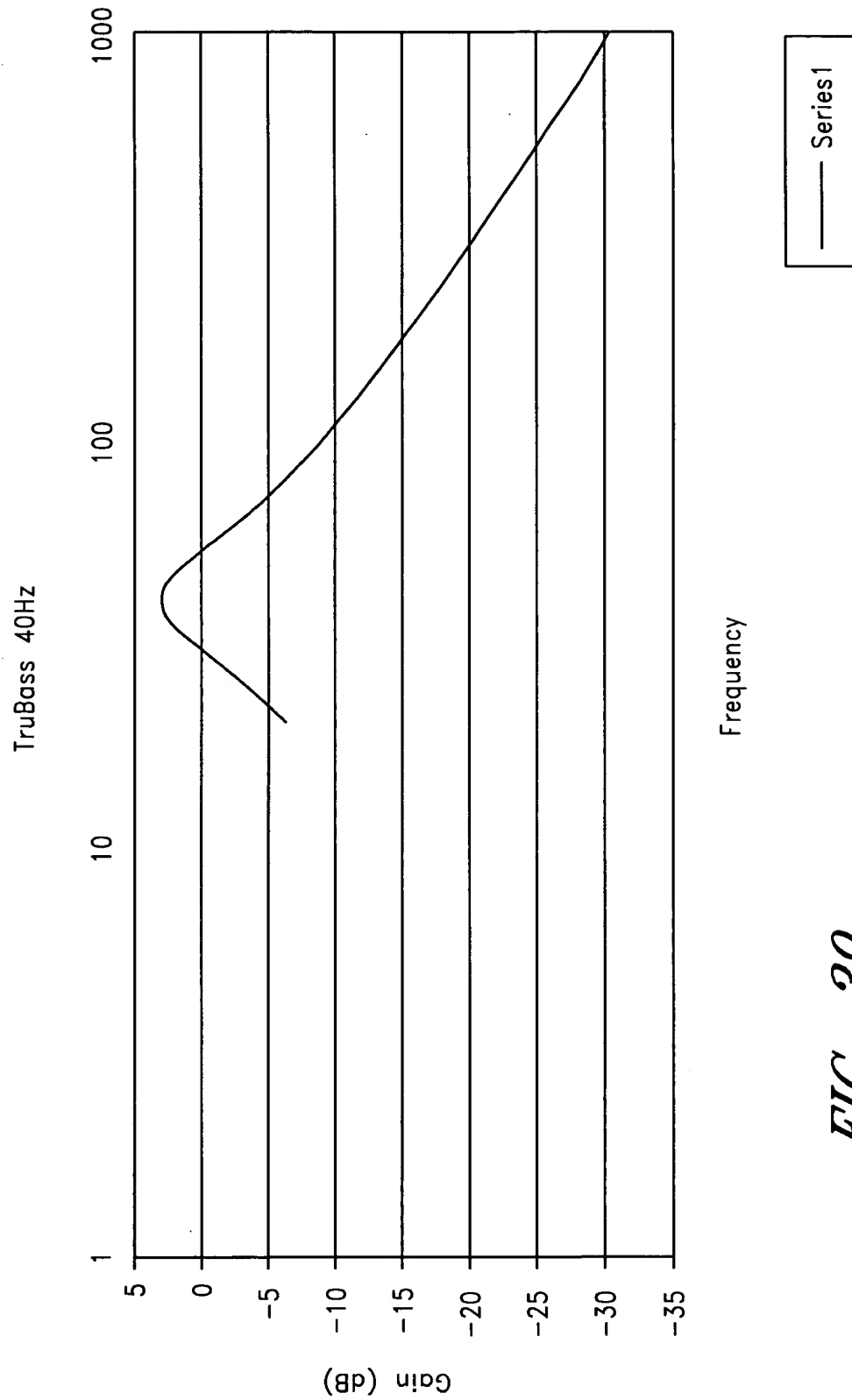


FIG. 39

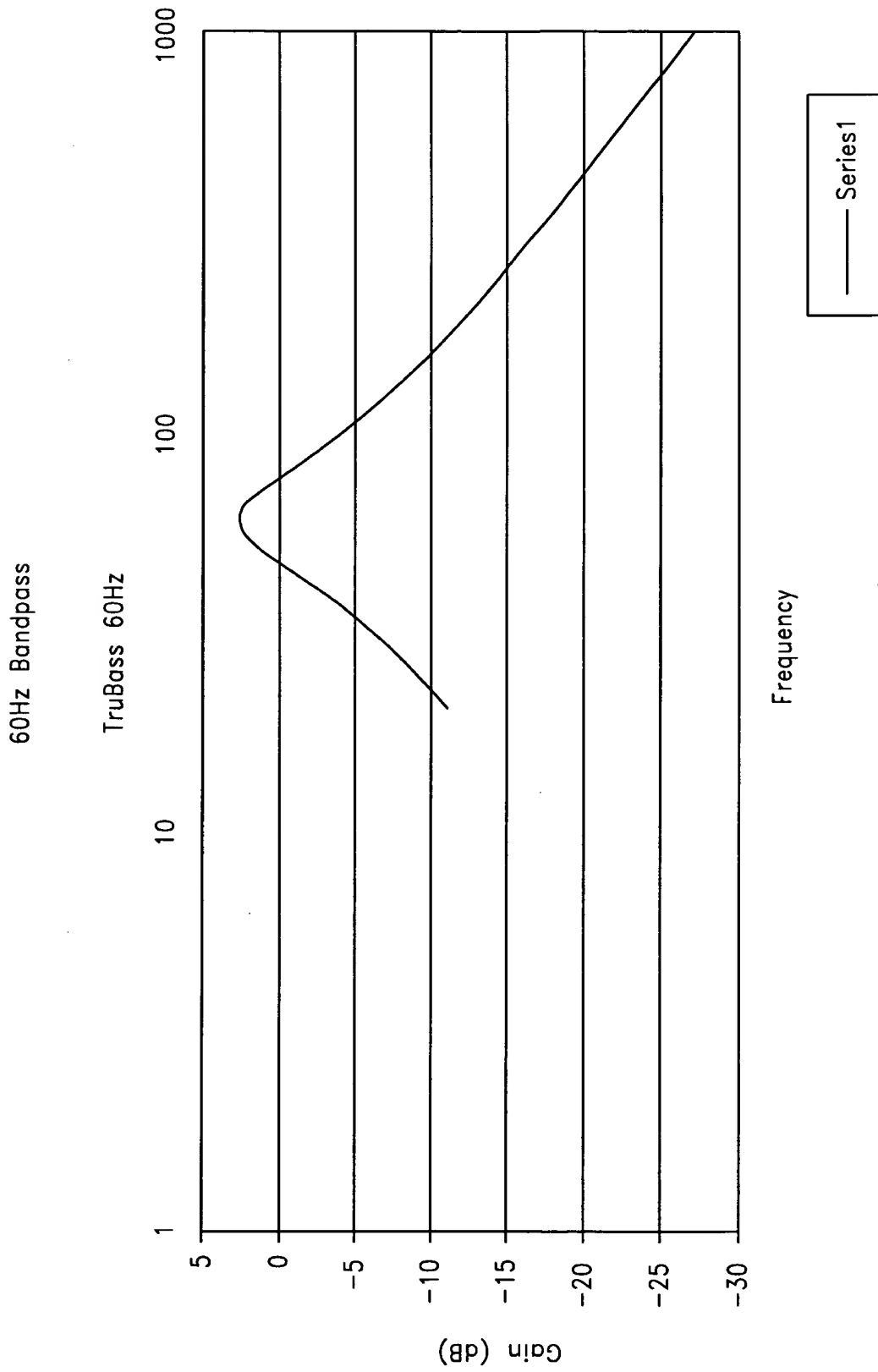


FIG. 40

50/53

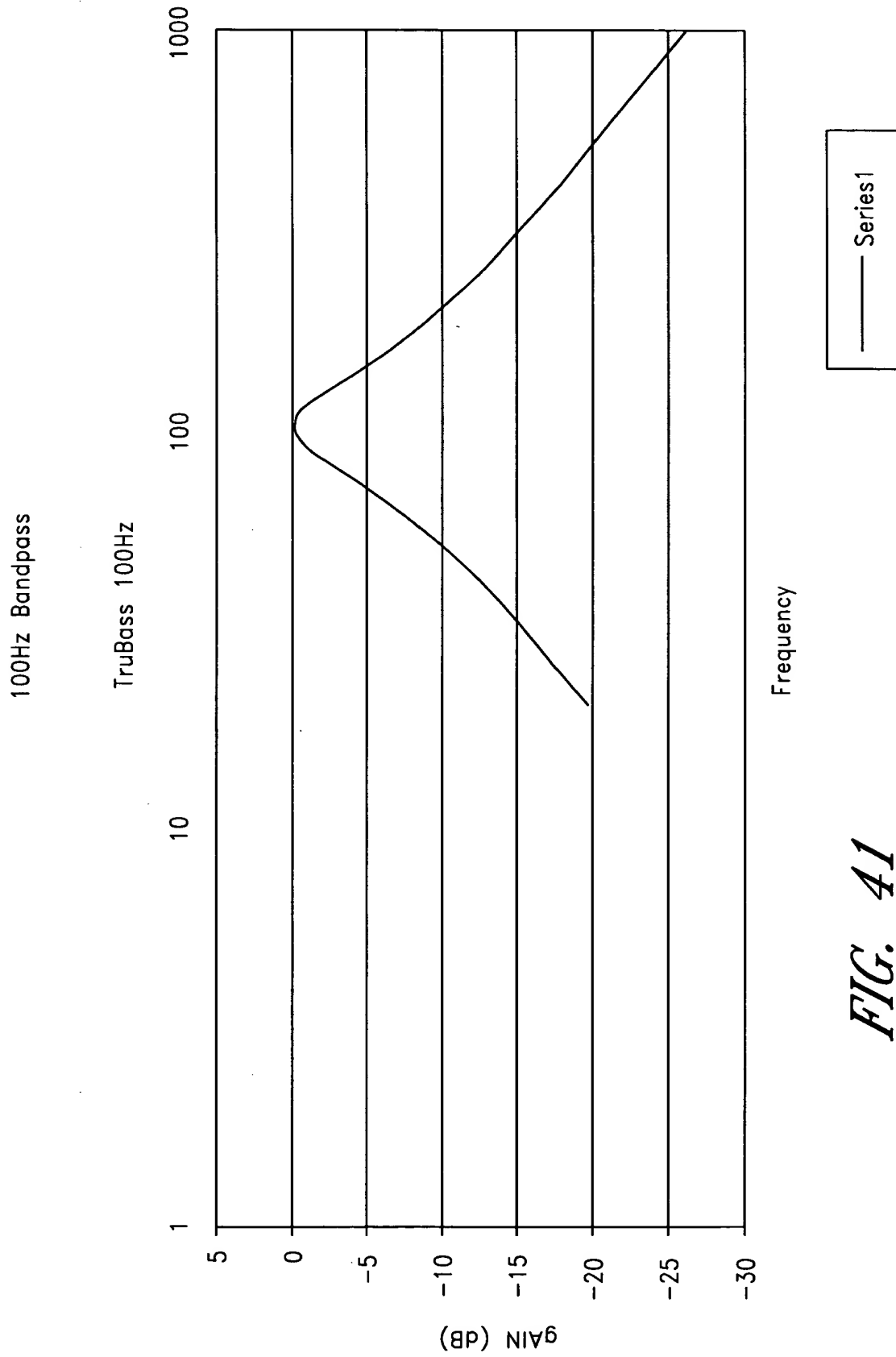


FIG. 41

51/53

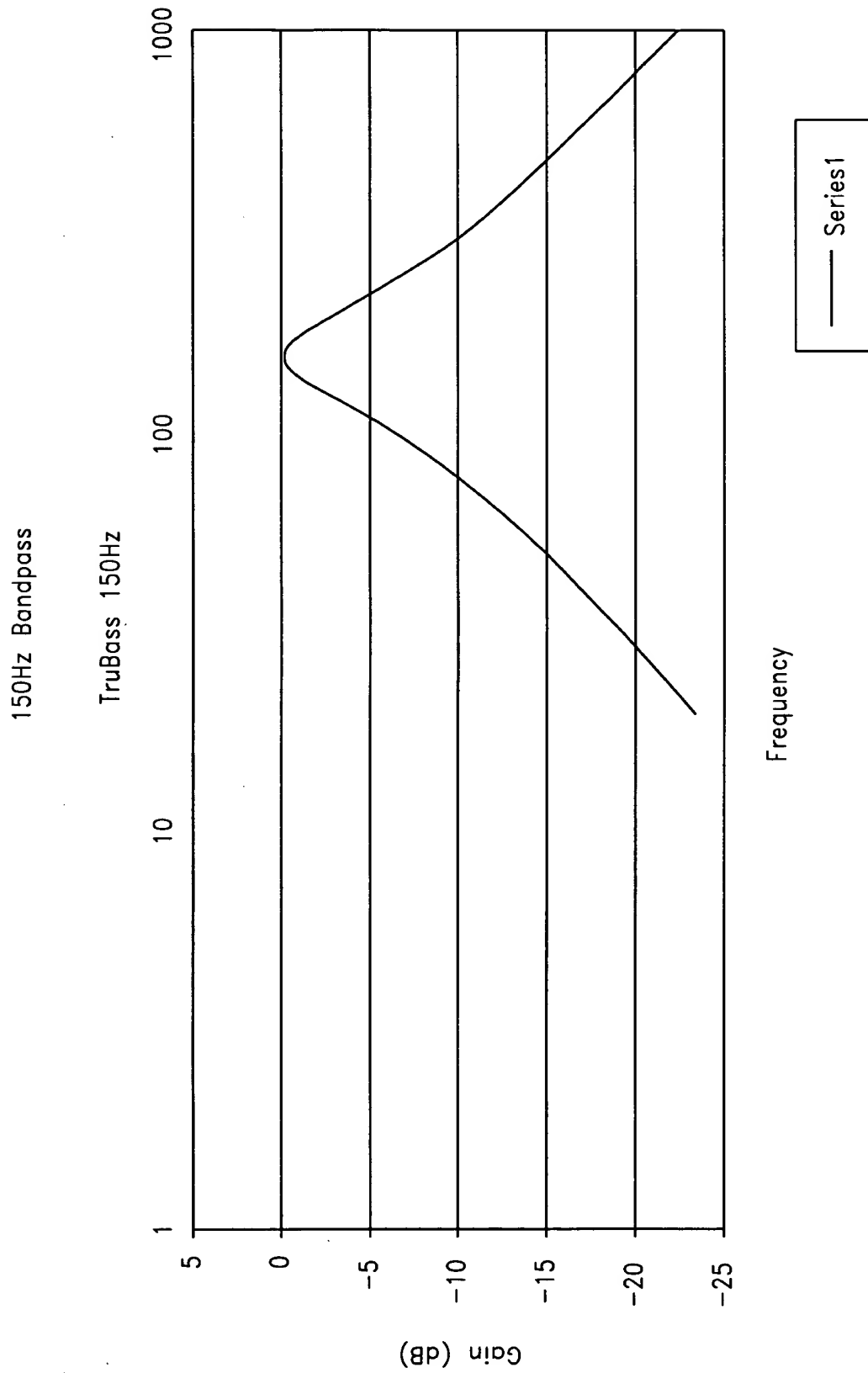


FIG. 42

52/53

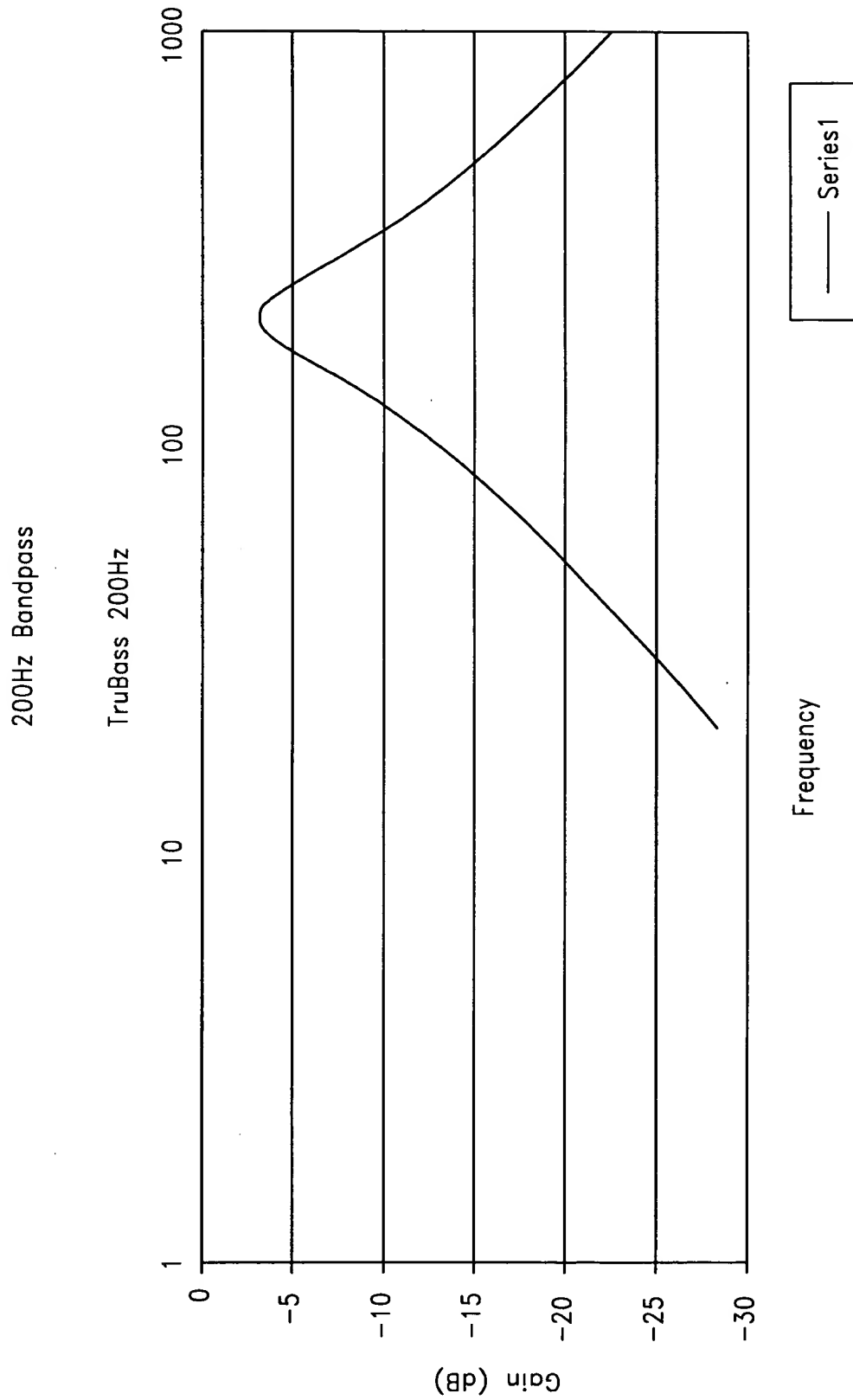


FIG. 43

53/53

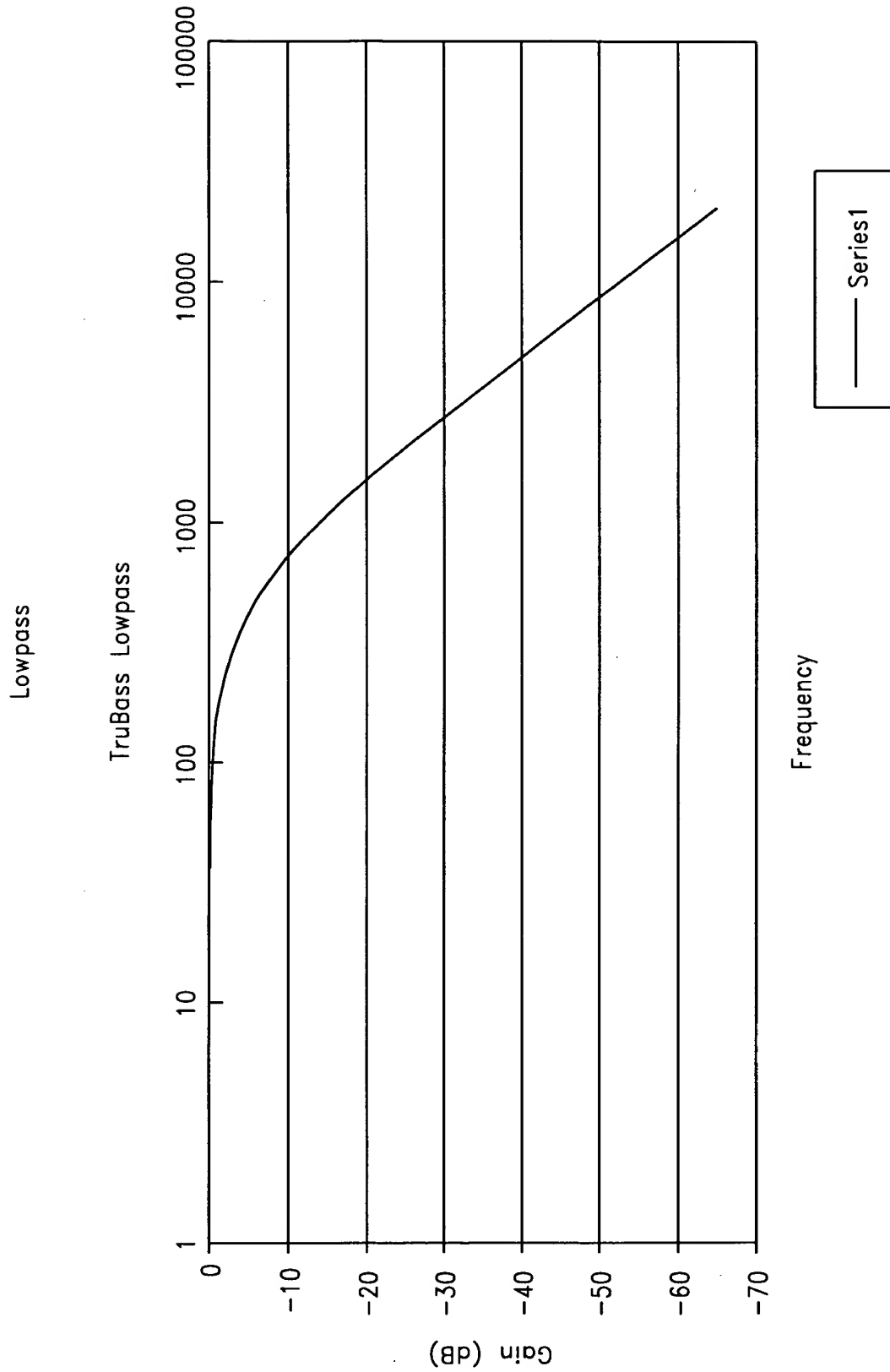


FIG. 44